

# Fuerzas intermoleculares y líquidos y sólidos

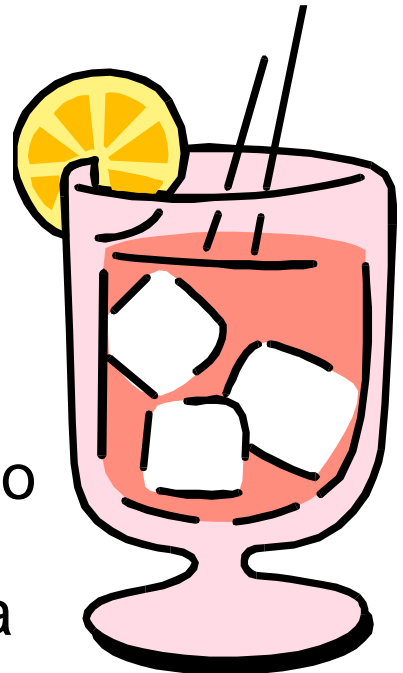
*Capítulo 11*

Una fase es la parte homogénea de un sistema en contacto con otras partes del sistema pero separadas por una barrera bien definida.

### 2 Fases

Fase sólida - hielo

Fase líquida - agua



**TABLE 11.1** Characteristic Properties of Gases, Liquids, and Solids

State of Matter	Volume/Shape	Density	Compressibility	Motion of Molecules
Gas	Assumes the volume and shape of its container	Low	Very compressible	Very free motion
Liquid	Has a definite volume but assumes the shape of its container	High	Only slightly compressible	Slide past one another freely
Solid	Has a definite volume and shape	High	Virtually incompressible	Vibrate about fixed positions

# Fuerzas intermoleculares

Las **fuerzas intermoleculares** son las fuerzas de atracción que existen **entre** las moléculas.

Las **fuerzas intramoleculares** mantienen juntos los átomos de una molécula.

## Intermolecular vs intramolecular

- 41 kJ para vaporizar 1 mol de agua (**intermolecular**)
- 930 kJ para romper todos los enlaces O-H en 1 mol de agua (**intramolecular**)



Generalmente, las "Medidas" de fuerzas intermoleculares  
fuerzas  
**intermoleculares** son  
mucho más débiles  
que las fuerzas  
**intramoleculares**.

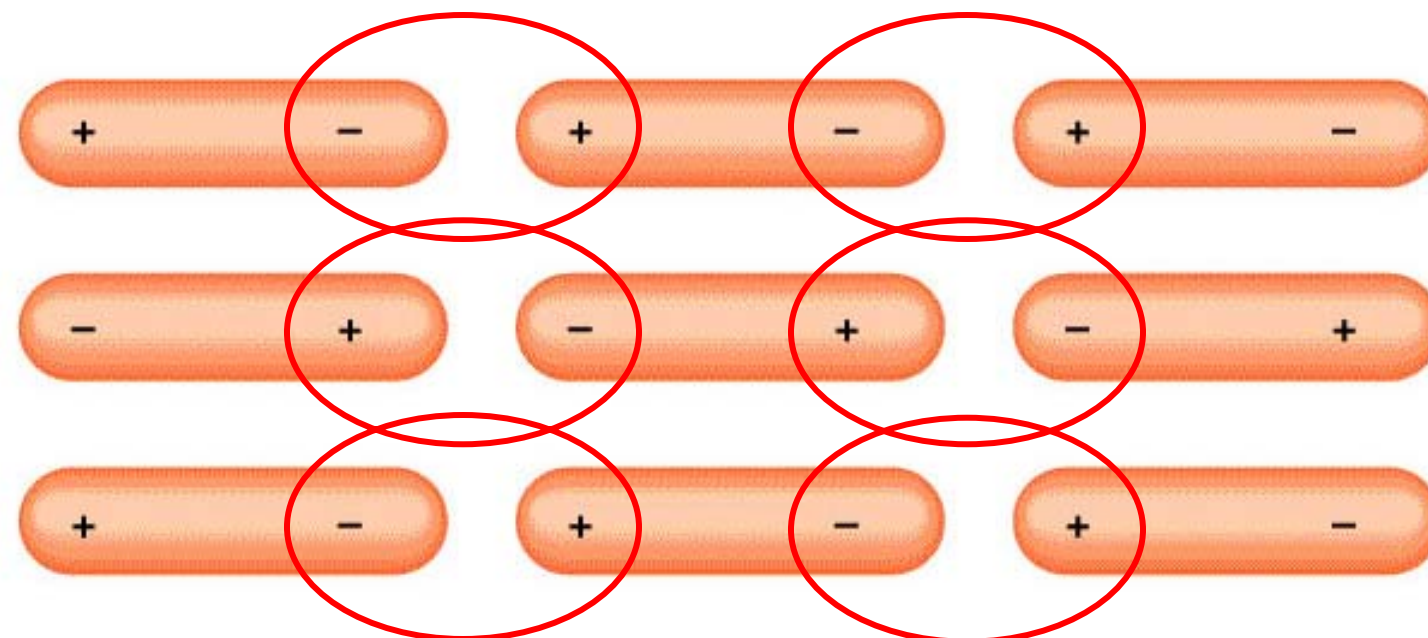
punto de ebullición  
punto de fusión  
 $\Delta H_{vap}$   
 $\Delta H_{fus}$   
 $\Delta H_{sub}$

# Fuerzas intermoleculares

## Fuerzas dipolo-dipolo

Fuerzas de atracción entre **moléculas polares.**

Orientación de moléculas polares en un sólido

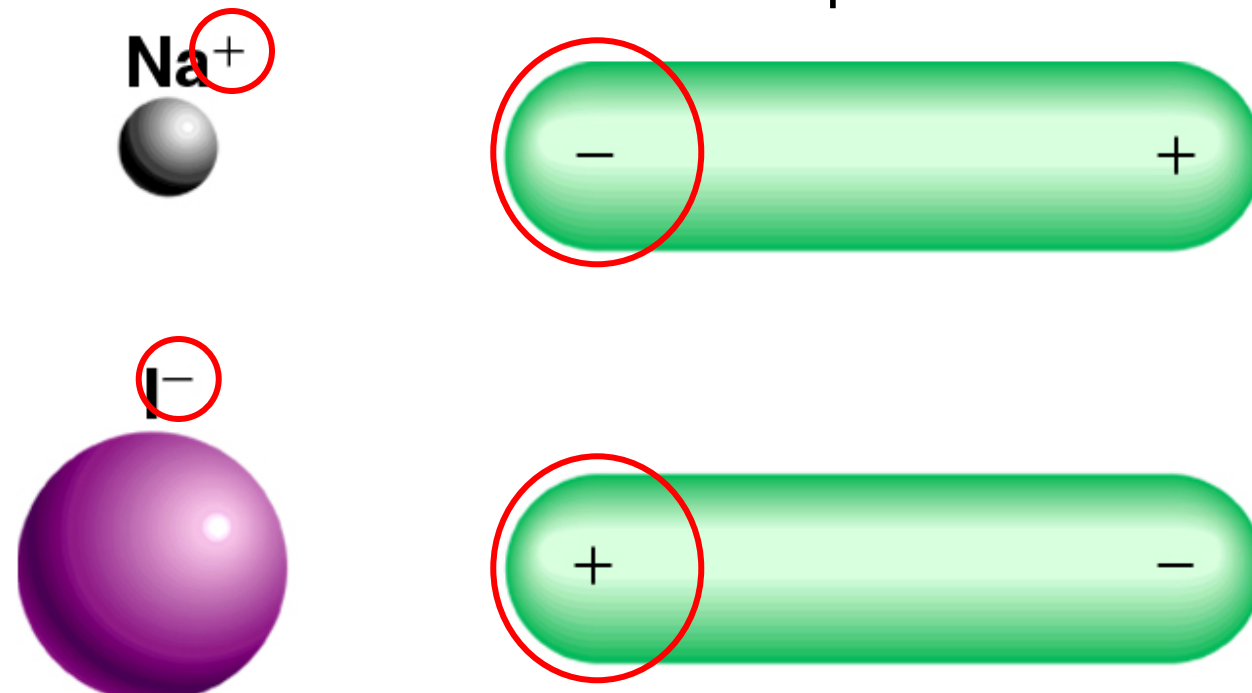


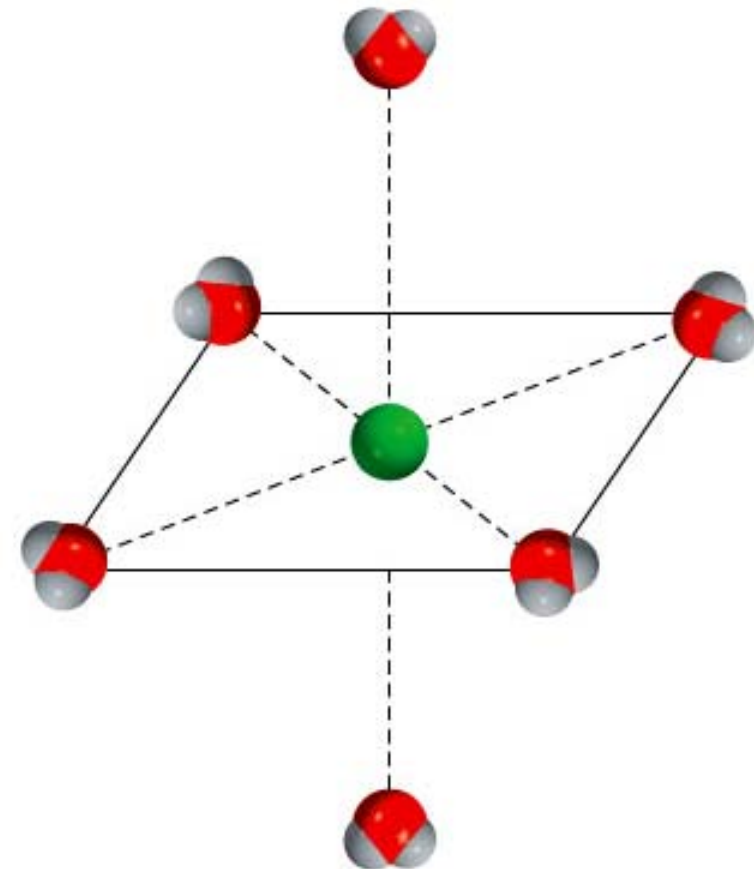
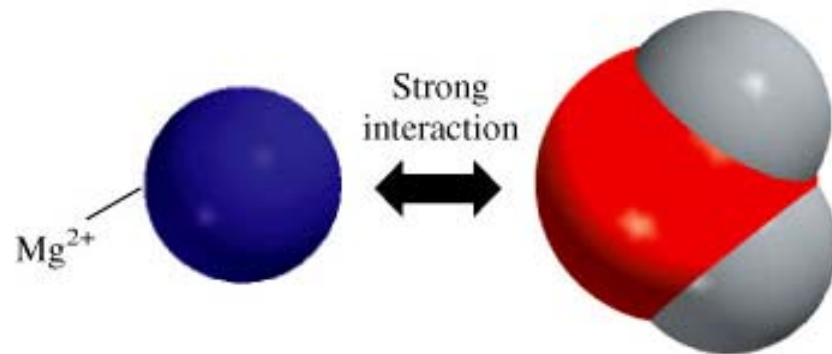
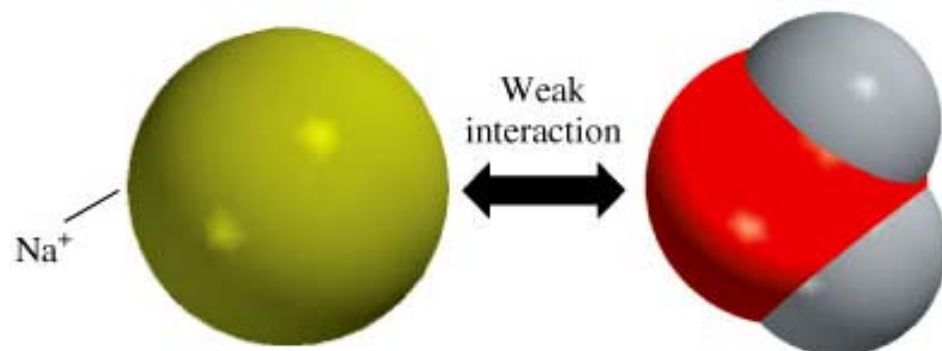
# Fuerzas intermoleculares

## Fuerzas ion-dipolo

Fuerzas de atracción entre un **ión** y una molécula polar.

Interacción ion-dipolo

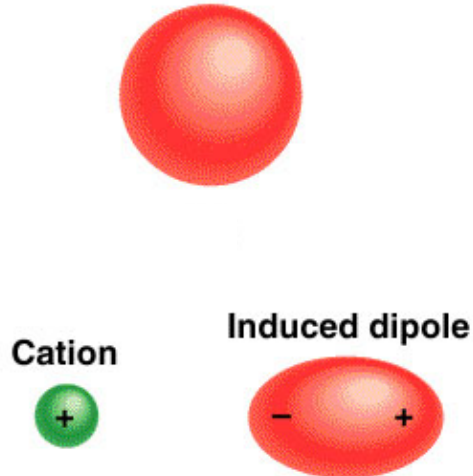




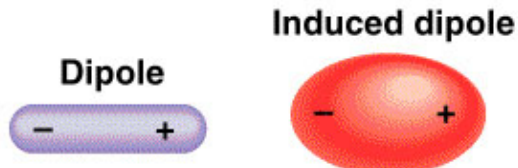
# Fuerzas intermoleculares

## Fuerzas de dispersión

Fuerzas de atracción que surgen como resultado de dipolos temporales inducidos en átomos o moléculas.

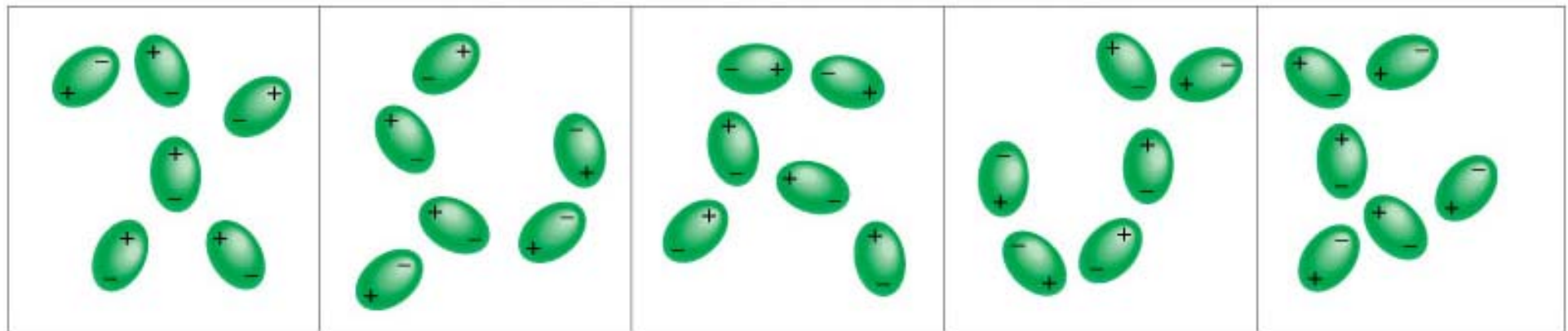


Interacción de ión – dipolo inducido



Interacción de dipolos dipolo-inducido

## Dipolos inducidos interactuando entre sí



# Fuerzas intermoleculares

## Fuerzas de dispersión

**Polarización** es la facilidad con la que la distribución del electrón en el átomo o molécula puede ser distorsionada.

La **polarización** aumenta con:

- mayor número de electrones
- difusión de más nubes de electrones

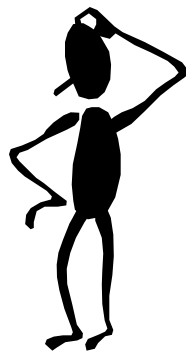


Las fuerzas de dispersión por lo general aumentan con la masa molar.

TABLE 11.2

Melting Points of Similar Nonpolar Compounds

Compound	Melting Point (°C)
CH <sub>4</sub>	-182.5
CF <sub>4</sub>	-150.0
CCl <sub>4</sub>	-23.0
CBr <sub>4</sub>	90.0
CI <sub>4</sub>	171.0



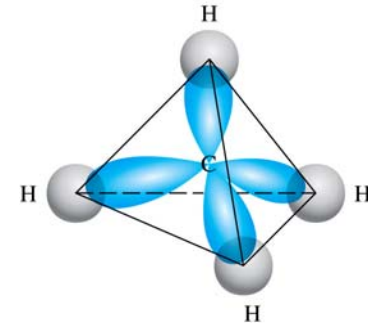
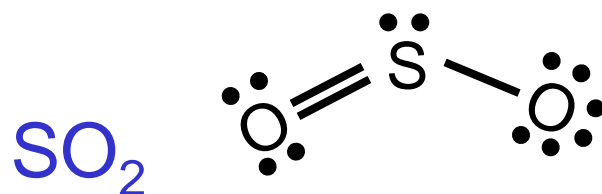
¿Qué tipos de fuerzas intermoleculares existen entre cada una de las siguientes moléculas?

## HBr

HBr es una molécula polar: interacción dipolo-dipolo. También hay fuerzas de dispersión entre moléculas de HBr.

## CH<sub>4</sub>

CH<sub>4</sub> es no polar: fuerzas de dispersión.

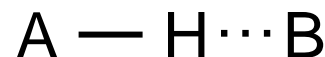


SO<sub>2</sub> es una molécula polar: fuerzas dipolo-dipolo. También hay fuerzas de dispersión entre las moléculas de SO<sub>2</sub>.

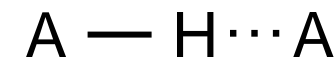
# Fuerzas intermoleculares

## Enlace por puente de hidrógeno

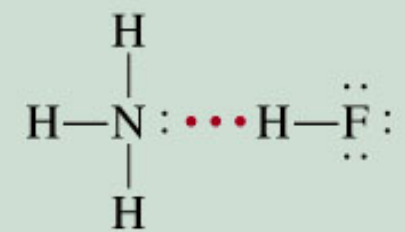
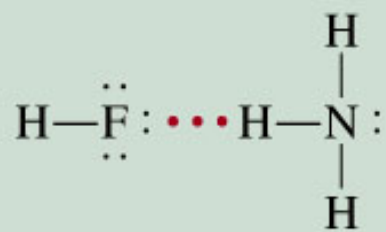
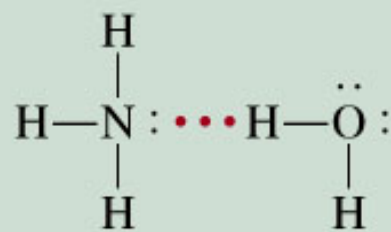
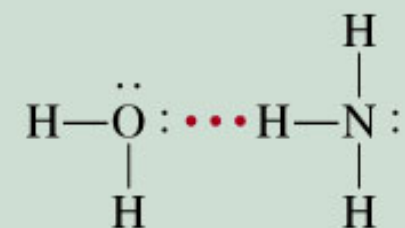
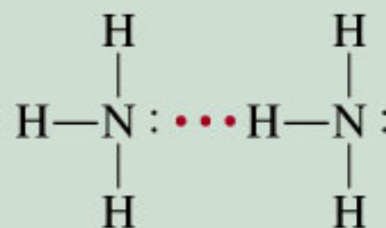
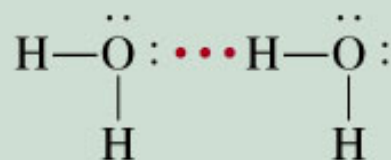
El **enlace por puente de hidrógeno** es una interacción dipolo-dipolo especial entre el átomo de hidrógeno en un enlace polar N-H, O-H, o F-H y un enlace electronegativo en los átomos O, N o F.



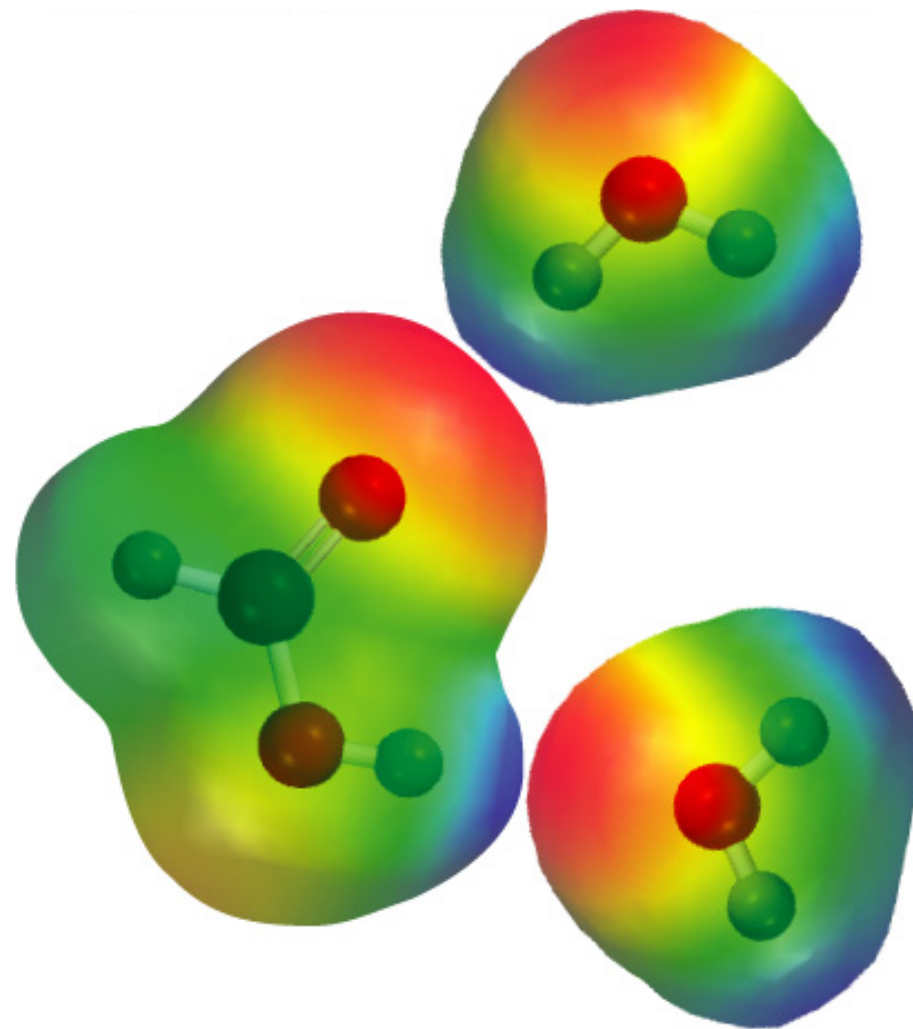
or



A & B son N, O, o F

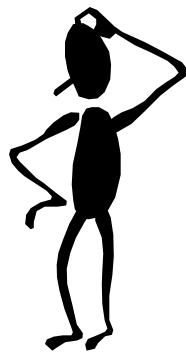


## Enlace por puente de hidrógeno

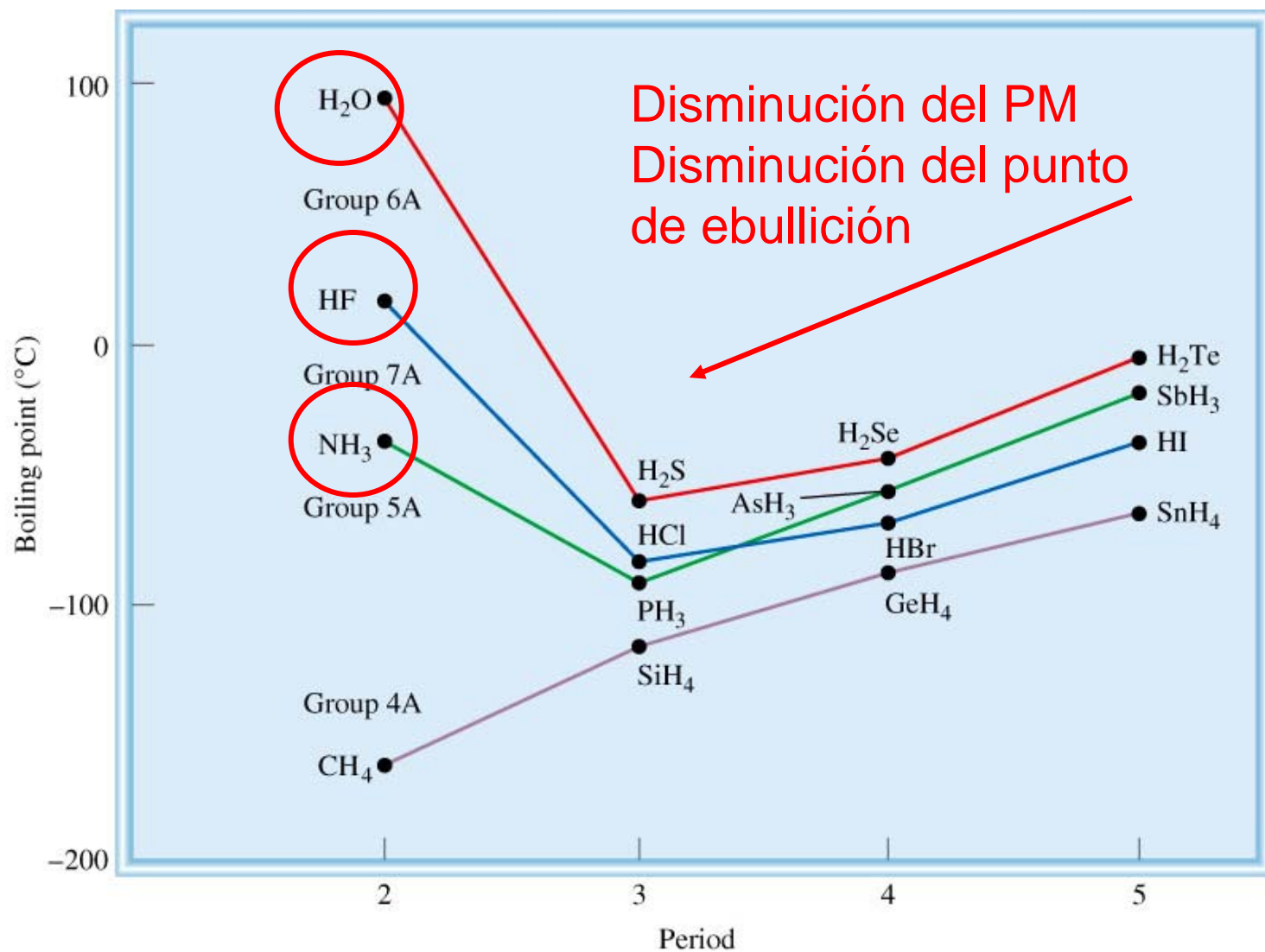


1A	
2A	

								8A
3A	4A	5A	6A	7A				
	N	O	F					



¿Por qué se considera al enlace por puente de hidrógeno como una interacción dipolo-dipolo “especial”?

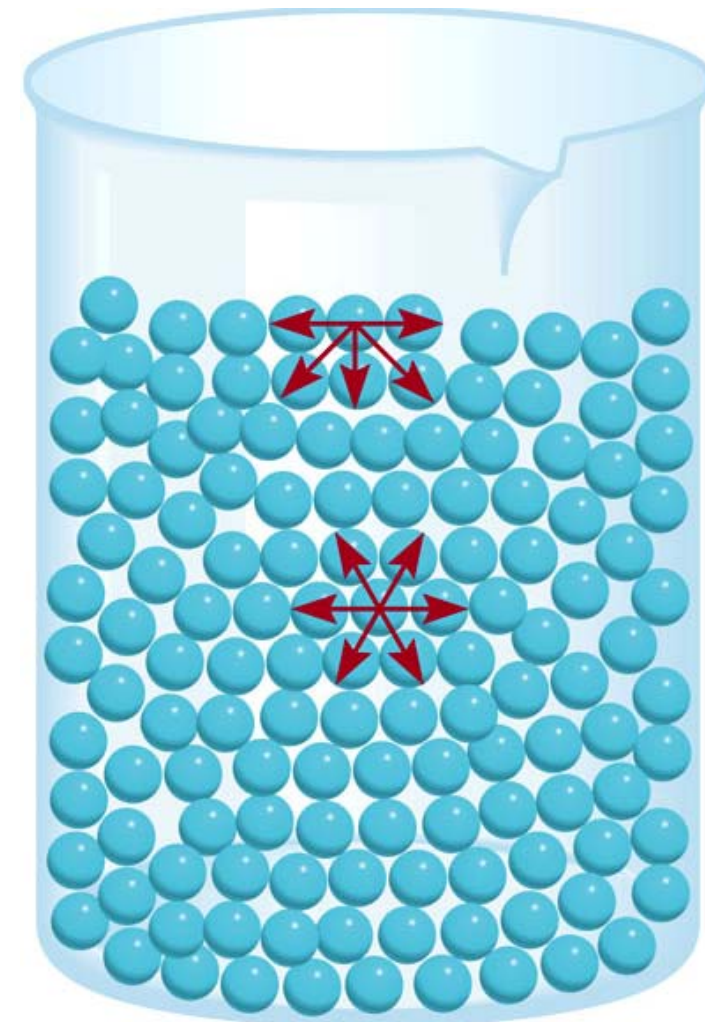


# Propiedades de los líquidos

La **tensión superficial** es la cantidad de energía requerida para dilatar o aumentar la superficie de un líquido por unidad de área.

Fuerzas  
intermoleculares  
fuertes

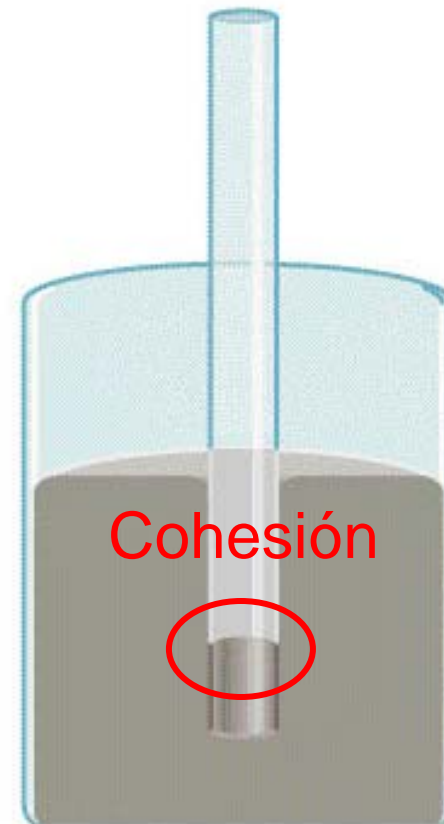
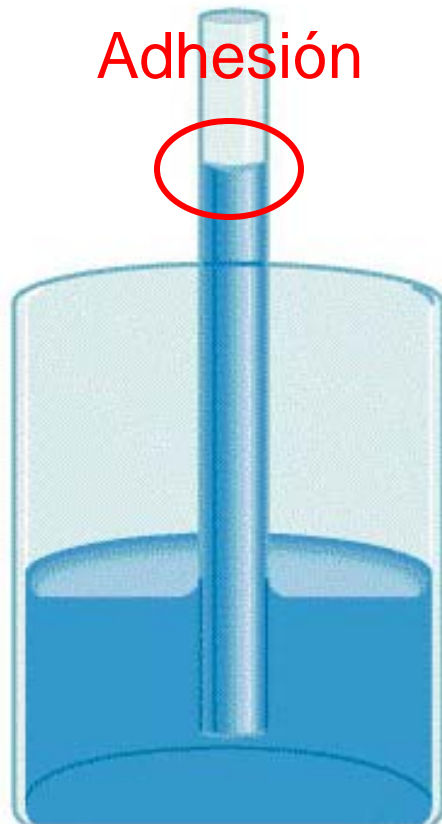
Alta  
tensión  
superficial



# Propiedades de los líquidos

**Cohesión** es la atracción intermolecular entre moléculas similares.

**Adhesión** es una atracción entre moléculas diferentes.



# Propiedades de los líquidos

**Viscosidad** es una medida de la resistencia de un líquido para fluir.

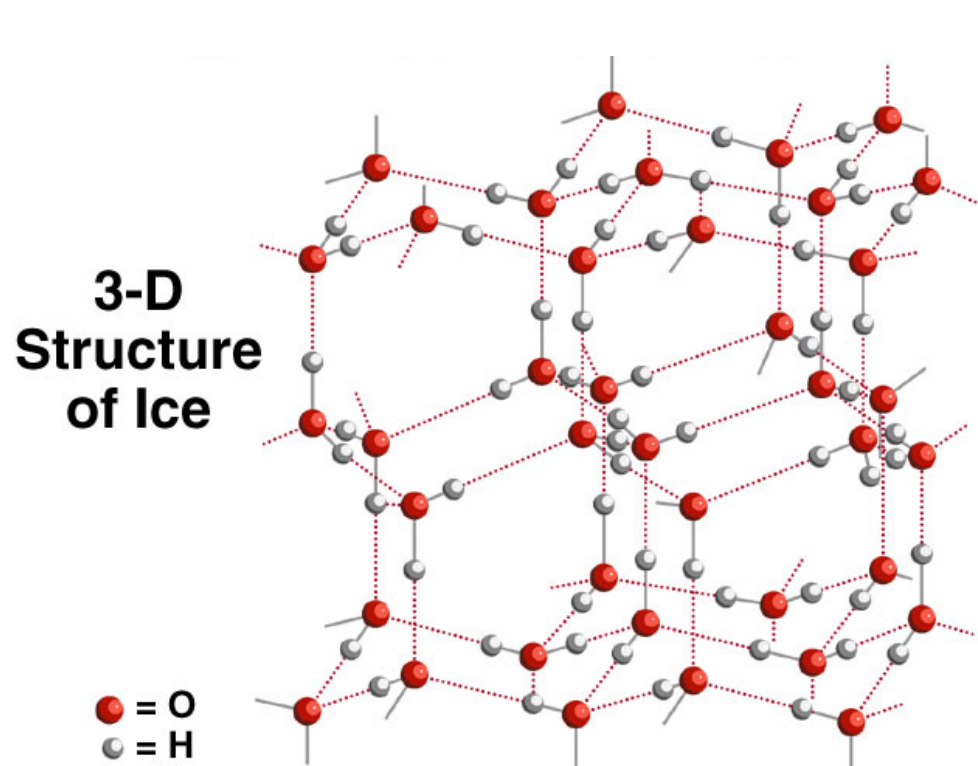
Fuerzas  
intermoleculares  
fuertes

Alta  
viscosidad

**TABLE 11.3 Viscosity of Some Common Liquids at 20°C**

Liquid	Viscosity (N s/m <sup>2</sup> )*
Acetone (C <sub>3</sub> H <sub>6</sub> O)	3.16 × 10 <sup>-4</sup>
Benzene (C <sub>6</sub> H <sub>6</sub> )	6.25 × 10 <sup>-4</sup>
Blood	4 × 10 <sup>-3</sup>
Carbon tetrachloride (CCl <sub>4</sub> )	9.69 × 10 <sup>-4</sup>
Ethanol (C <sub>2</sub> H <sub>5</sub> OH)	1.20 × 10 <sup>-3</sup>
Diethyl ether (C <sub>2</sub> H <sub>5</sub> OC <sub>2</sub> H <sub>5</sub> )	2.33 × 10 <sup>-4</sup>
Glycerol (C <sub>3</sub> H <sub>8</sub> O <sub>3</sub> )	1.49
Mercury (Hg)	1.55 × 10 <sup>-3</sup>
Water (H <sub>2</sub> O)	1.01 × 10 <sup>-3</sup>

\*The SI units of viscosity are newton-second per meter squared.



**El hielo es menos denso que el agua**

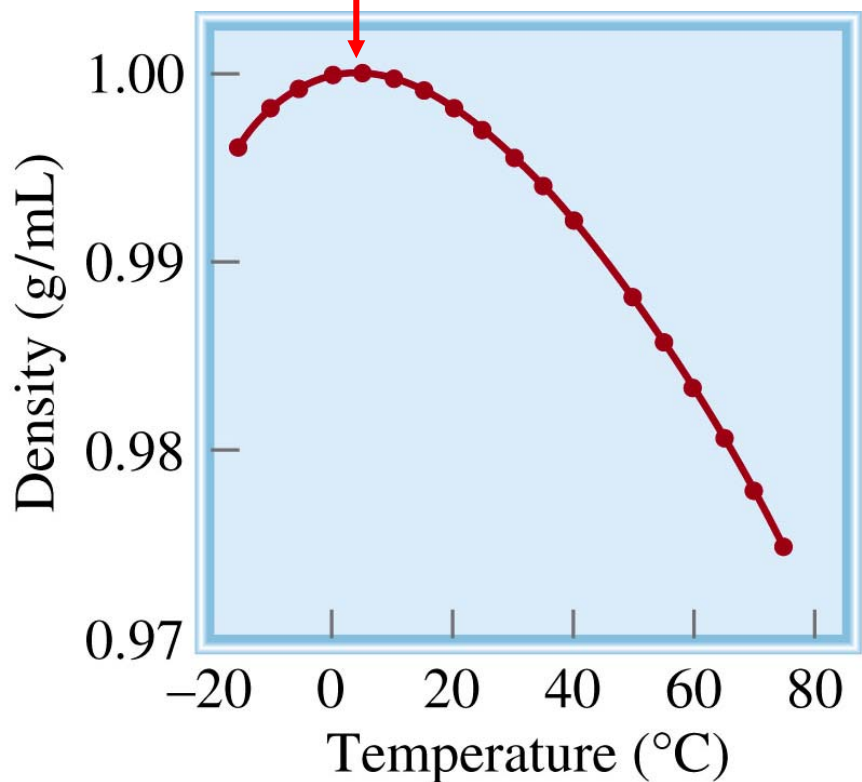


El agua es una sustancia única

Densidad máxima

4°C

Densidad del agua

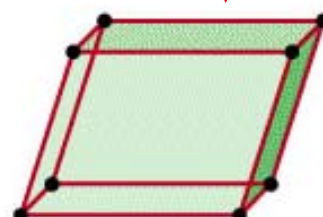


Un **sólido cristalino** posee un orden rígido y largo. En un sólido cristalino, los átomos, moléculas o iones ocupan posiciones específicas (predecibles).

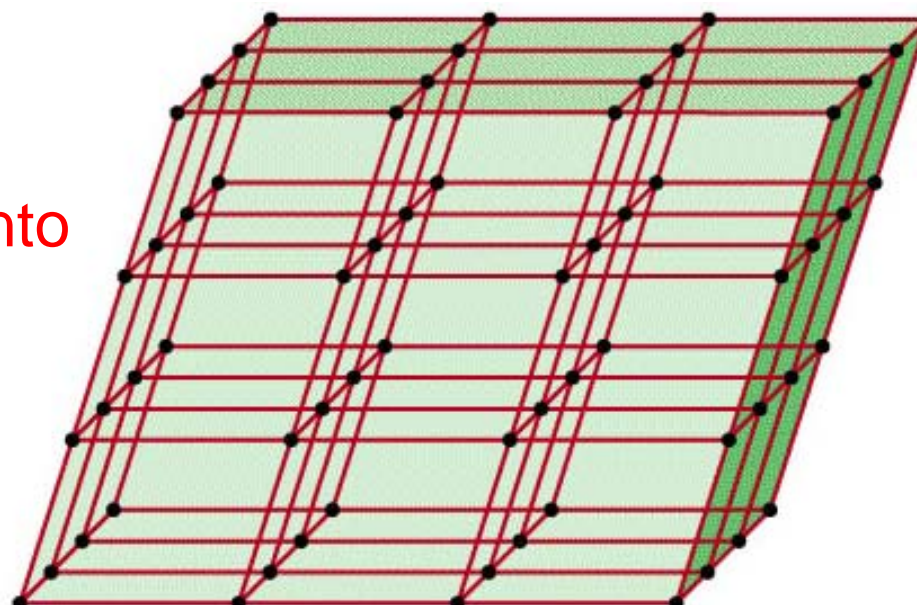
Un **sólido** amorfó no posee una disposición bien definida ni un orden molecular de rango largo.

Una **celda unitaria** es la unidad estructural de repetición básica de un sólido cristalino.

punto de  
entrecruzamiento



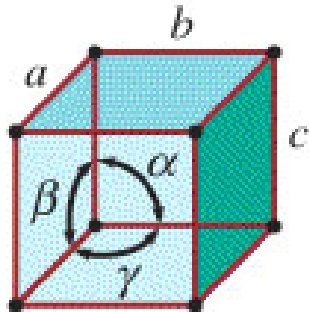
Celda unitaria



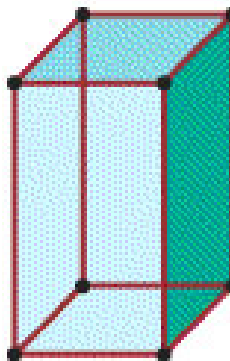
Celdas unitarias en 3 dimensiones

- En los puntos de entrecruzamiento:
- Átomos
  - Moléculas
  - Iones

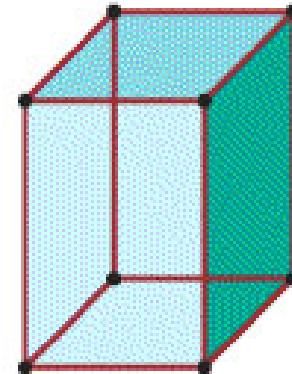
# Seven Types of Unit Cells



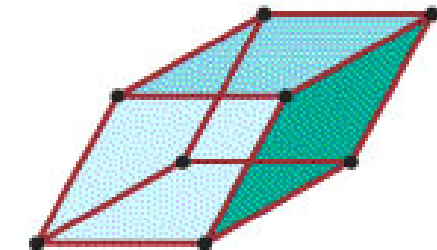
**Simple cubic**  
 $a = b = c$   
 $\alpha = \beta = \gamma = 90^\circ$



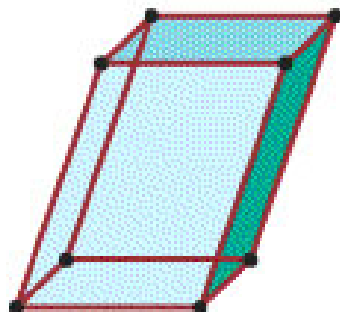
**Tetragonal**  
 $a = b \neq c$   
 $\alpha = \beta = \gamma = 90^\circ$



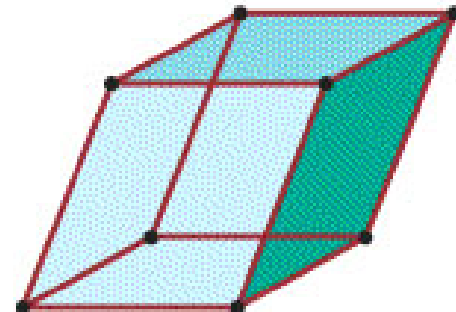
**Orthorhombic**  
 $a \neq b \neq c$   
 $\alpha = \beta = \gamma = 90^\circ$



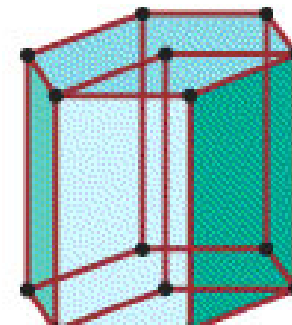
**Rhombohedral**  
 $a = b = c$   
 $\alpha = \beta = \gamma \neq 90^\circ$



**Monoclinic**  
 $a \neq b \neq c$   
 $\alpha = \gamma = 90^\circ, \beta \neq 90^\circ$

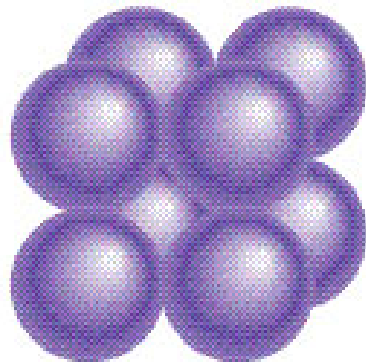
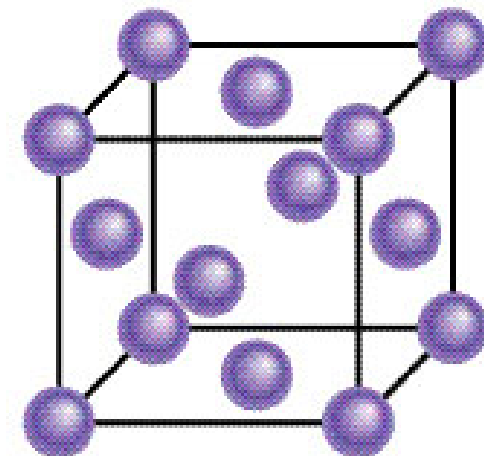
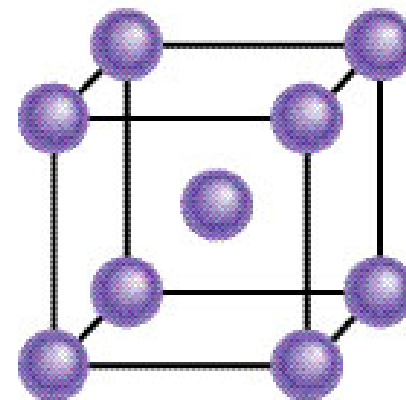
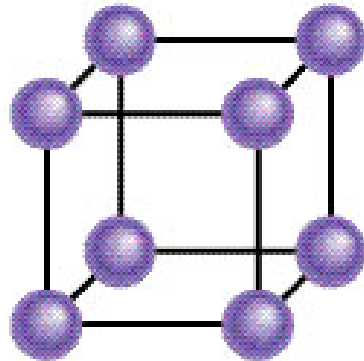


**Triclinic**  
 $a \neq b \neq c$   
 $\alpha \neq \beta \neq \gamma \neq 90^\circ$



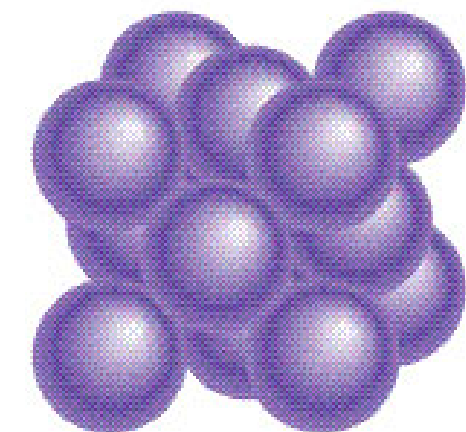
**Hexagonal**  
 $a = b \neq c$   
 $\alpha = \beta = 90^\circ, \gamma = 120^\circ$

# Three Types of Cubic Cells



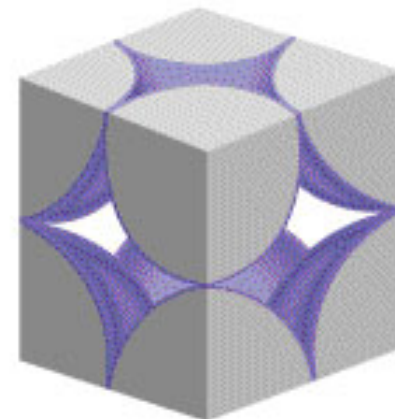
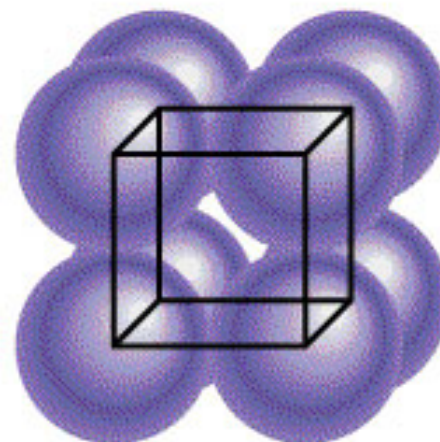
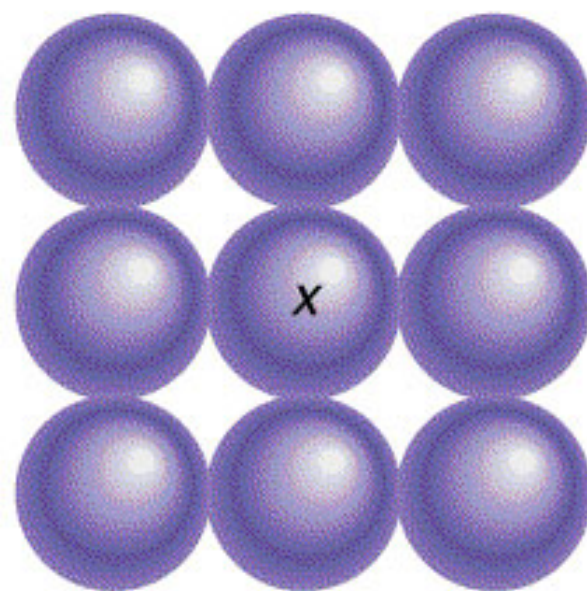
Cúbica simple

Cúbica centrada en  
el cuerpo

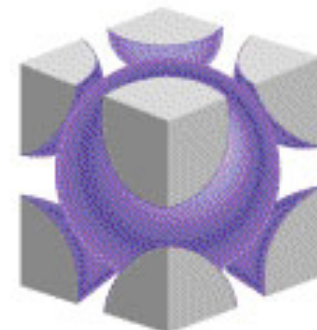
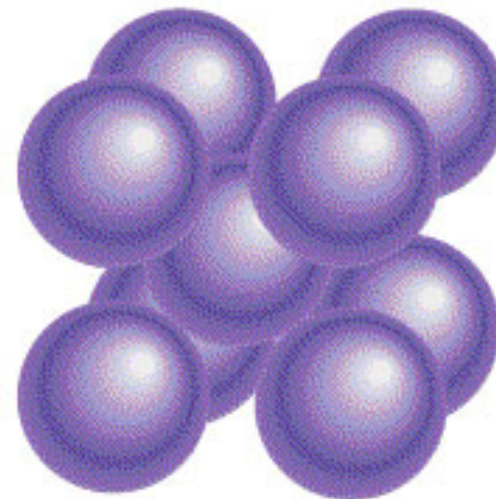
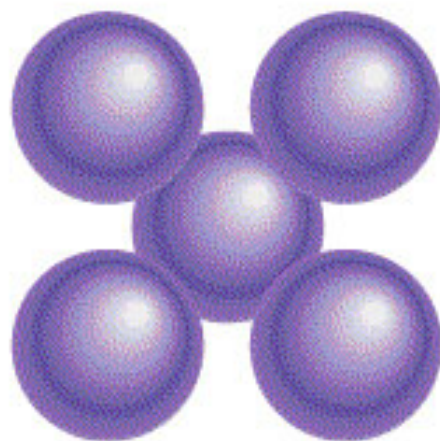


Cúbica centrada en  
las caras

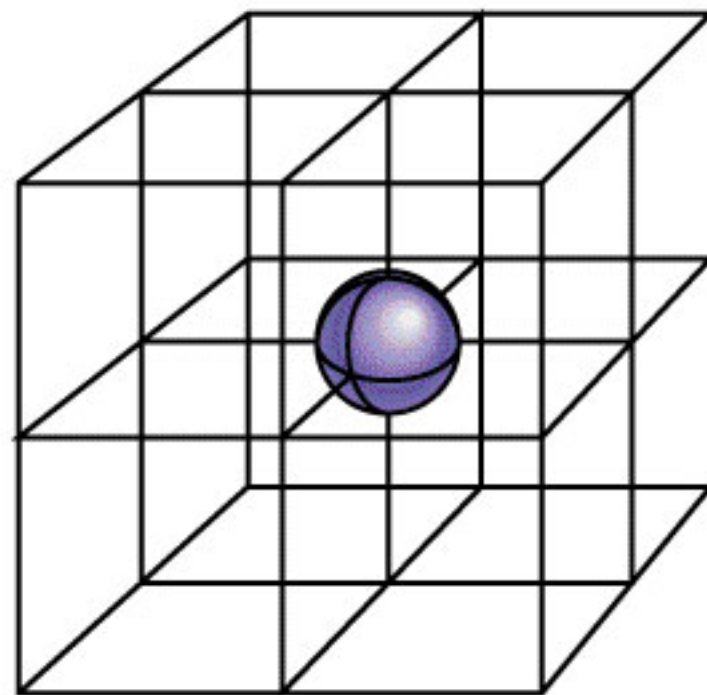
## **Arrangement of Identical Spheres in a simple Cubic Cell**



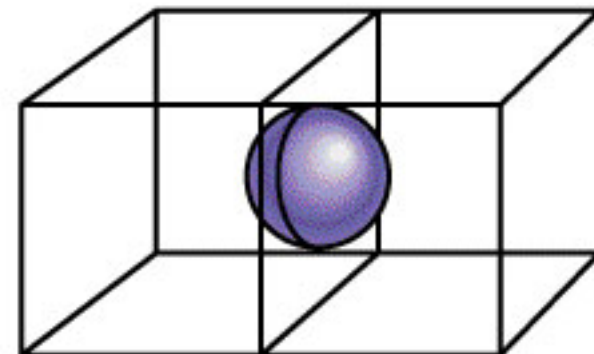
## **Arrangement of Identical Spheres in a Body-Centered Cube**



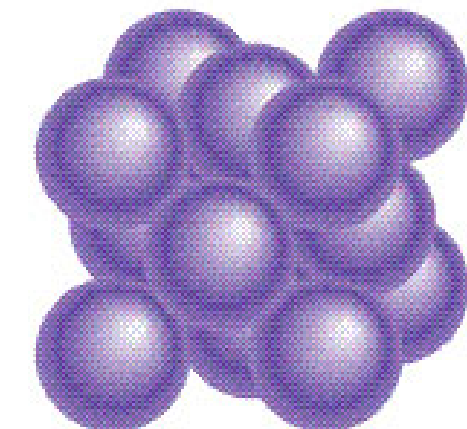
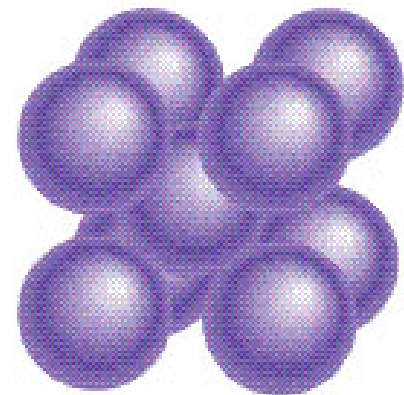
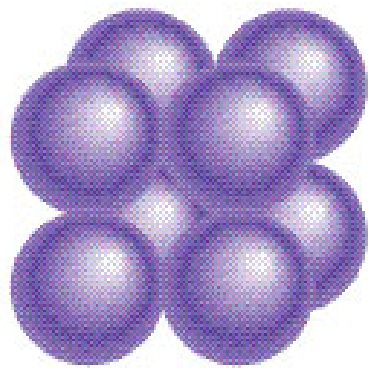
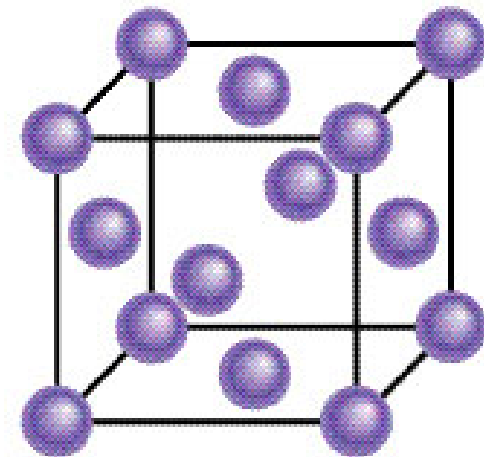
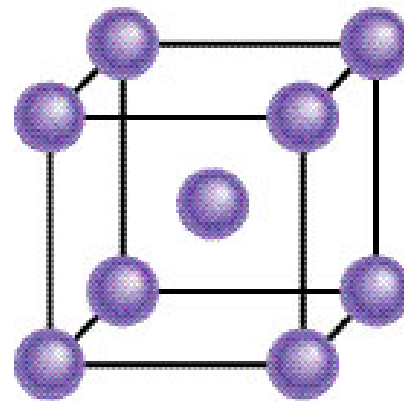
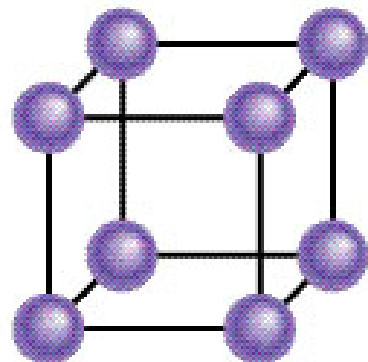
# A Corner Atom and a Face-Centered Atom



Compartido  
por **8** celdas  
unitarias



Compartido  
por **2** celdas  
unitarias



**Simple cubic**

1 átomo/celda unitaria  
 $(8 \times 1/8 = 1)$

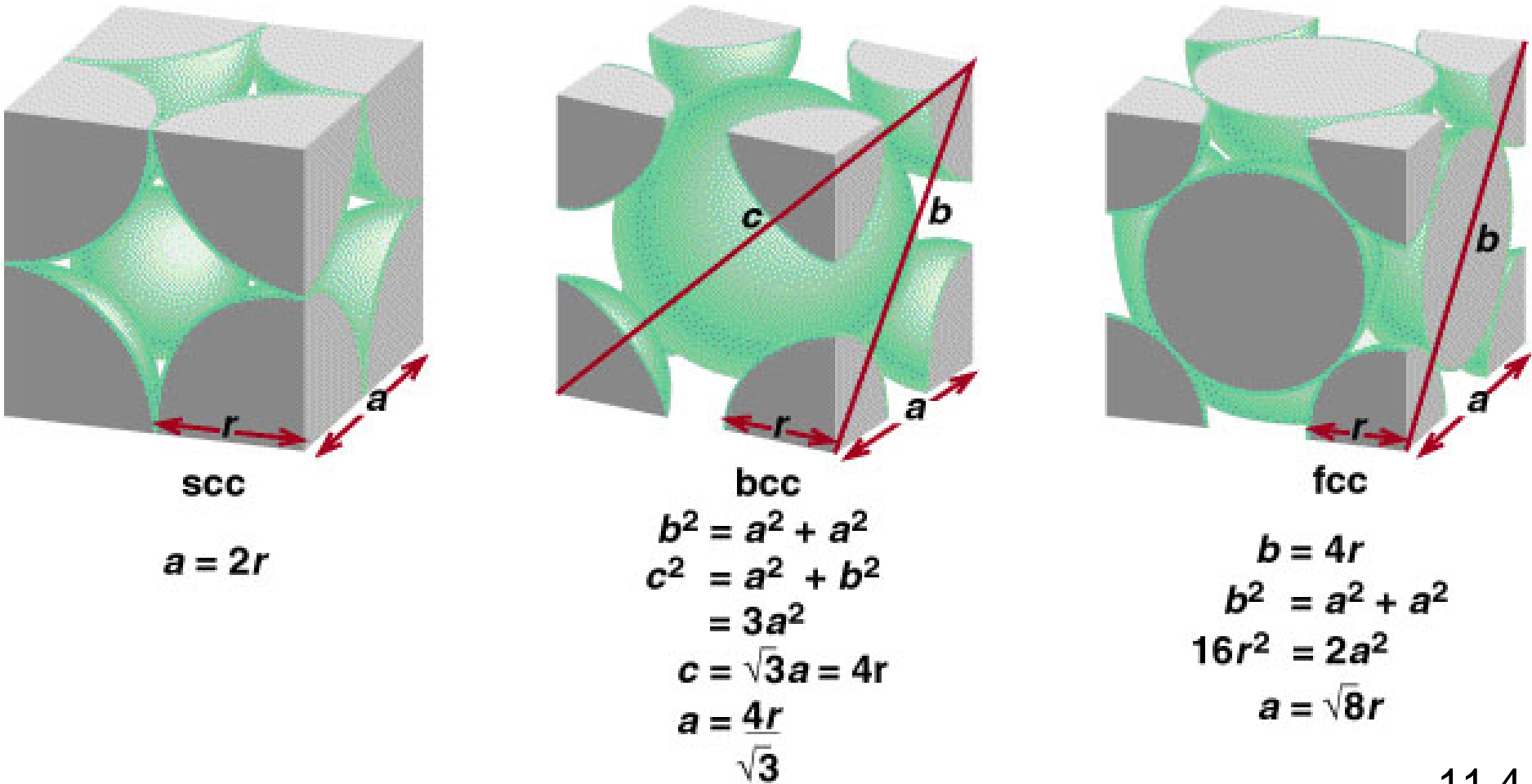
**Body-centered cubic**

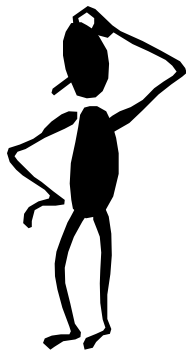
2 átomos/celda unitaria  
 $(8 \times 1/8 + 1 = 2)$

**Face-centered cubic**

4 átomos/celda unitaria  
 $(8 \times 1/8 + 6 \times 1/2 = 4)$

# Relationship Between the Atomic Radius and the Edge Length in Three Different Unit Cells





Cuando la plata se cristaliza, forma celdas cúbicas de cara centrada. La longitud de la arista de la celda unitaria es de 409 pm. Calcular la densidad de la plata.

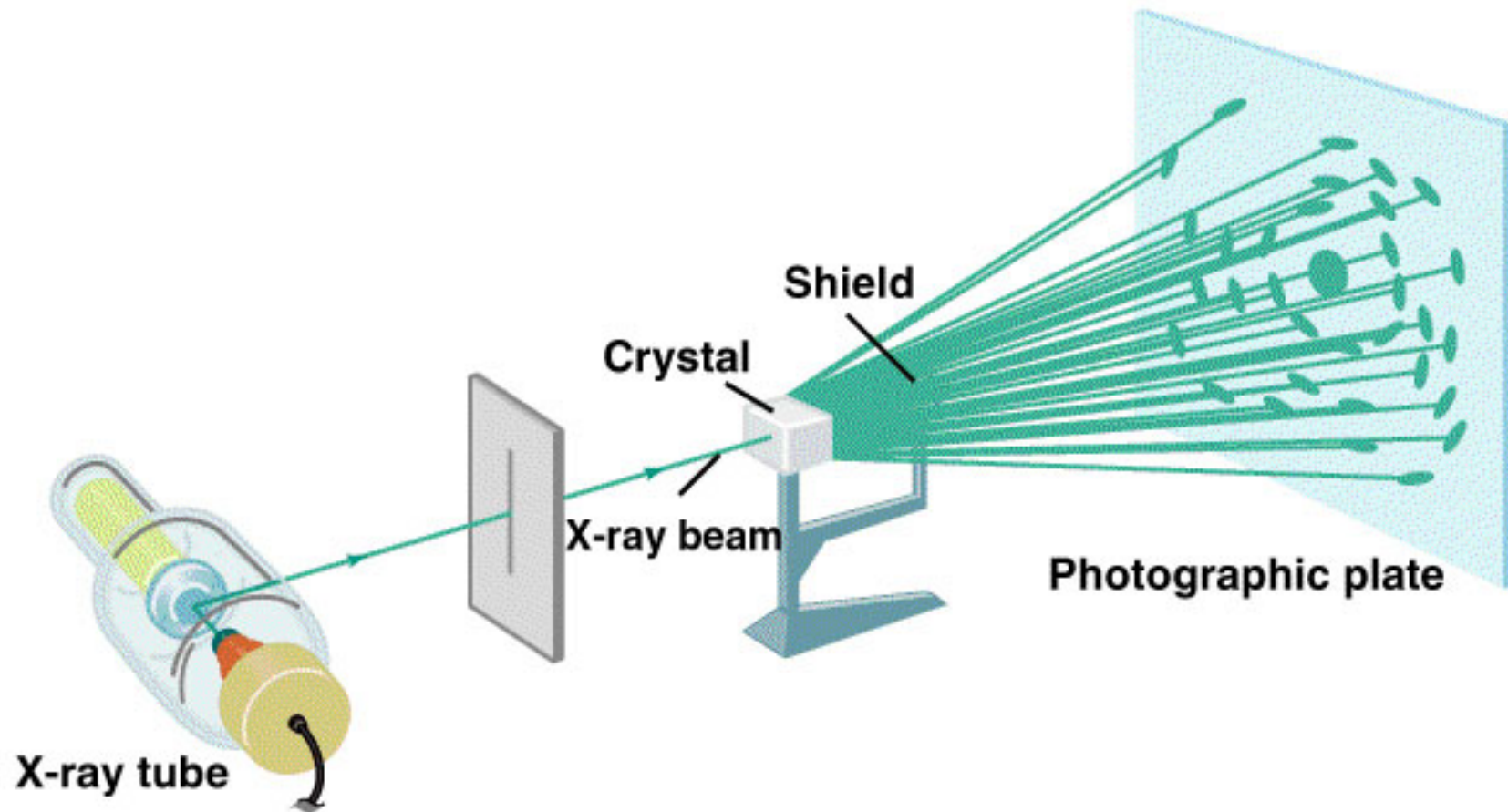
$$d = \frac{m}{V} \quad V = a^3 = (409 \text{ pm})^3 = 6.83 \times 10^{-23} \text{ cm}^3$$

4 átomos/celda unitaria en una celda cúbica de cara centrada

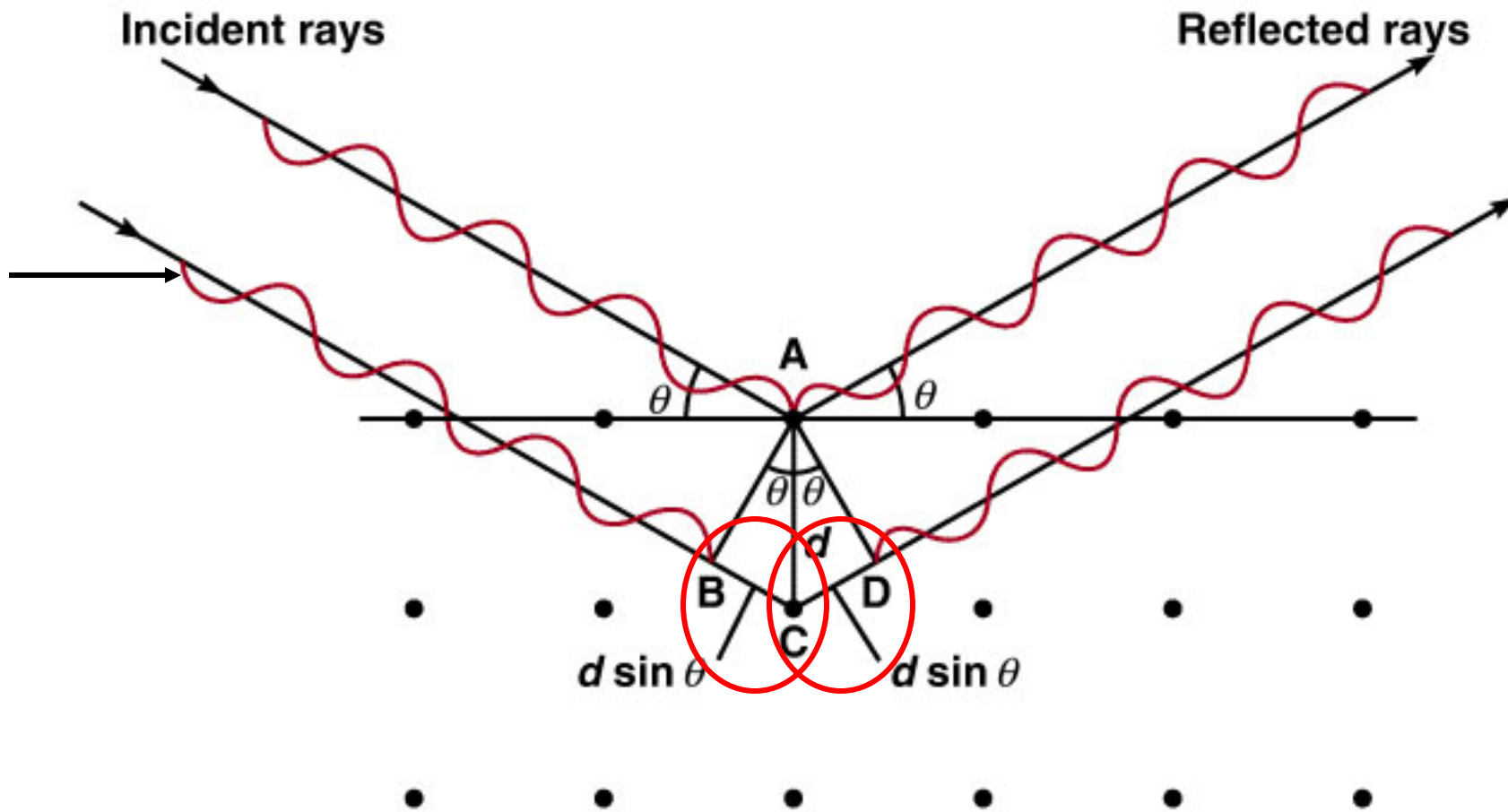
$$m = 4 \text{ Ag átomos} \times \frac{107.9 \text{ g}}{\text{mol Ag}} \times \frac{1 \text{ mol Ag}}{6.022 \times 10^{23} \text{ átomos}} = 7.17 \times 10^{-22} \text{ g}$$

$$d = \frac{m}{V} = \frac{7.17 \times 10^{-22} \text{ g}}{6.83 \times 10^{-23} \text{ cm}^3} = 10.5 \text{ g/cm}^3$$

# Arrangement for Obtaining the X-Ray Diffraction Pattern of a Crystal



# Reflection of X Rays from Two Layers of Atoms



Distancia extra =  $BC + CD = 2d \sin \theta = n\lambda$  (Ecuación de Bragg)



Rayos X con una longitud de onda de 0.154 nm son difractados desde un cristal a un ángulo de 14.17°. Suponiendo que  $n = 1$ , ¿cuál es la distancia (en pm) entre las capas en el cristal?

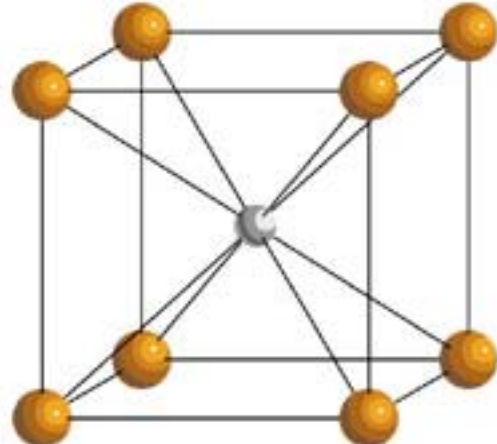
$$n\lambda = 2d \operatorname{sen} \theta \quad n = 1 \quad \theta = 14.17^\circ \quad \lambda = 0.154 \text{ nm} = 154 \text{ pm}$$

$$d = \frac{n\lambda}{2 \operatorname{sen} \theta} = \frac{1 \times 154 \text{ pm}}{2 \times \operatorname{sen} 14.17^\circ} = 314.0 \text{ pm}$$

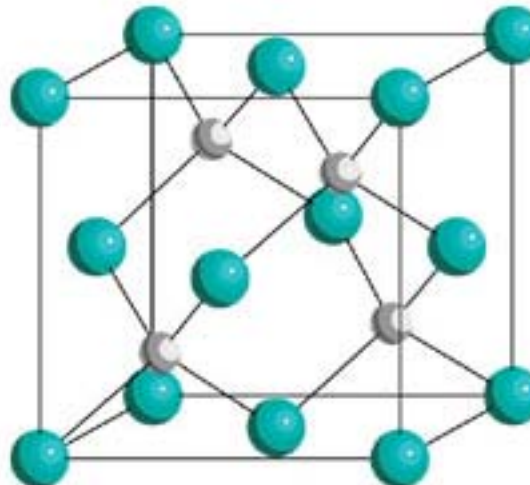
# Tipos de cristales

## Cristales iónicos

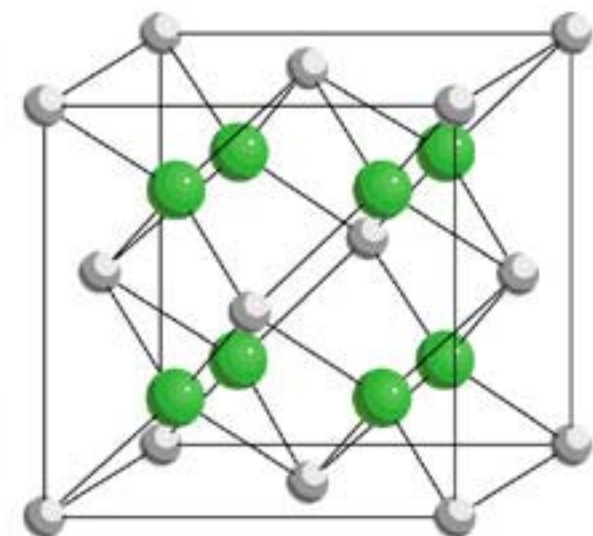
- Puntos de entrecruzamiento ocupados por cationes y aniones
- Se mantienen unidos por atracción electrostática
- Duros, frágiles, punto de fusión alto
- Malos conductores de calor y electricidad



$\text{CsCl}$



$\text{ZnS}$

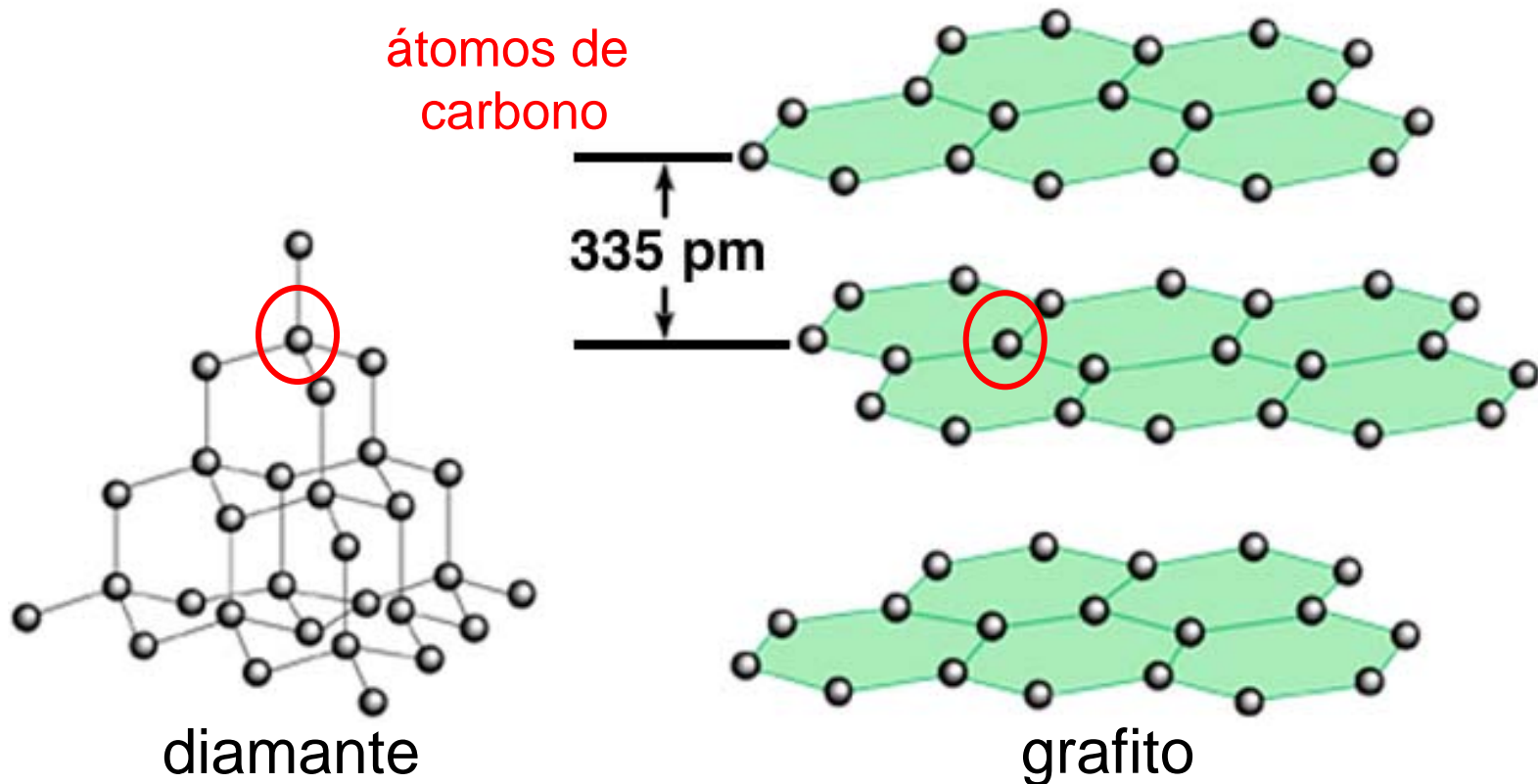


$\text{CaF}_2$

# Tipos de cristales

## Cristales covalentes

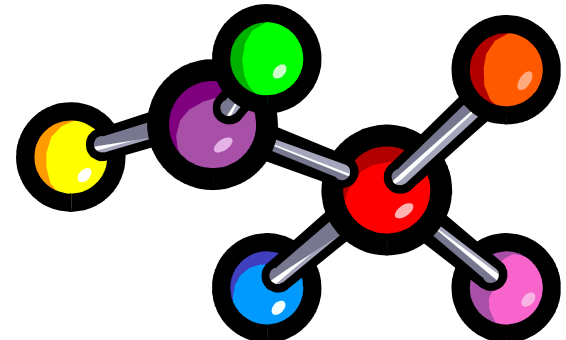
- Puntos de entrecruzamiento ocupados por átomos
- Se mantienen unidos por enlaces covalentes
- Duros, punto de fusión alto
- Malos conductores de calor y electricidad



# Tipos de cristales

## Cristales moleculares

- Puntos de entrecruzamiento ocupados por moléculas
- Se mantienen unidos por fuerzas intermoleculares
- Blandos, punto de fusión bajo
- Malos conductores de calor y electricidad



# Tipos de cristales

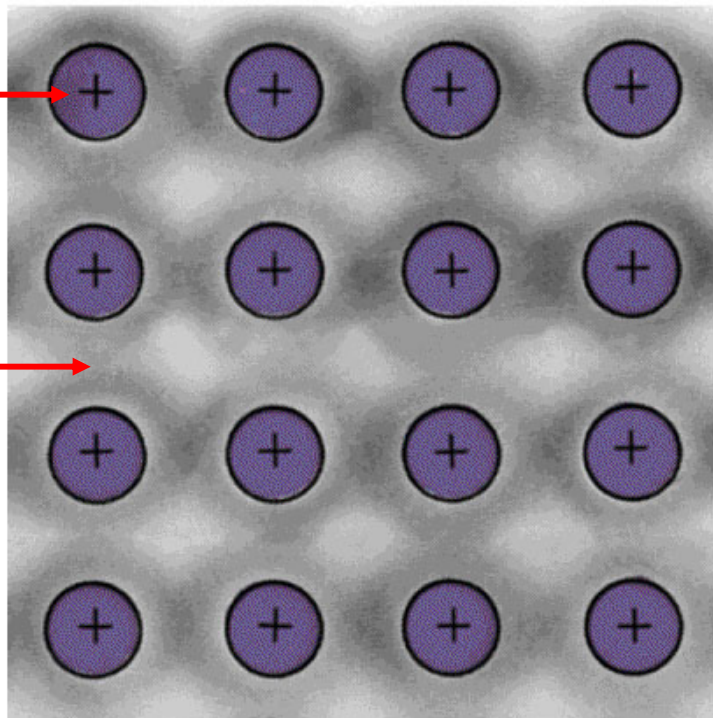
## Cristales metálicos

- Puntos de entrecruzamiento ocupados por átomos de metal
- Se mantienen unidos por enlaces metálicos
- Blandos a duros, punto de fusión de bajo a alto
- Buenos conductores de calor y electricidad

Corte transversal de un cristal metálico

núcleo y capa  
interna  $e^-$

“mar” móvil  
 $e^-$



# Estructuras de cristales metálicos

1 1A	2 2A															18 8A
		Hexagonal close-packed		Face-centered cubic		Body-centered cubic		Other structures								
Li	Be															
Na	Mg	3 3B	4 4B	5 5B	6 6B	7 7B	8	9 8B	10	11 1B	12 2B	Al				
K	Ca	Sc	Ti	V	Cr	Mn	Fe	Co	Ni	Cu	Zn	Ga				
Rb	Sr	Y	Zr	Nb	Mo	Tc	Ru	Rh	Pd	Ag	Cd	In	Sn			
Cs	Ba	La	Hf	Ta	W	Re	Os	Ir	Pt	Au	Hg	Tl	Pb			

# Tipos de cristales

**TABLE 11.4** Types of Crystals and General Properties

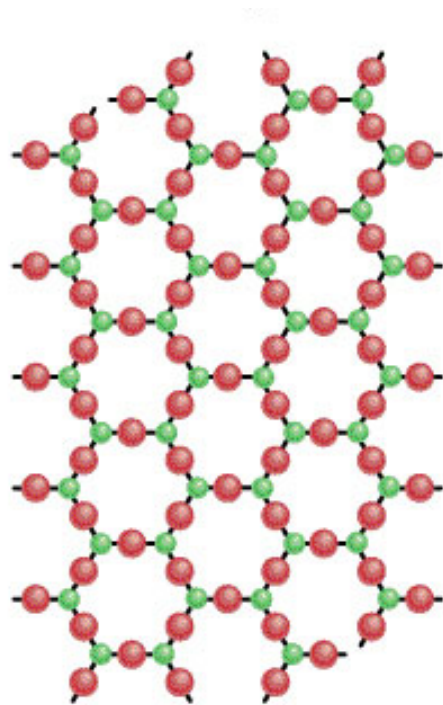
Type of Crystal	Force(s) Holding the Units Together	General Properties	Examples
Ionic	Electrostatic attraction	Hard, brittle, high melting point, poor conductor of heat and electricity	NaCl, LiF, MgO, CaCO <sub>3</sub>
Covalent	Covalent bond	Hard, high melting point, poor conductor of heat and electricity	C (diamond), <sup>†</sup> SiO <sub>2</sub> (quartz)
Molecular*	Dispersion forces, dipole-dipole forces, hydrogen bonds	Soft, low melting point, poor conductor of heat and electricity	Ar, CO <sub>2</sub> , I <sub>2</sub> , H <sub>2</sub> O, C <sub>12</sub> H <sub>22</sub> O <sub>11</sub> (sucrose)
Metallic	Metallic bond	Soft to hard, low to high melting point, good conductor of heat and electricity	All metallic elements; for example, Na, Mg, Fe, Cu

\*Included in this category are crystals made up of individual atoms.

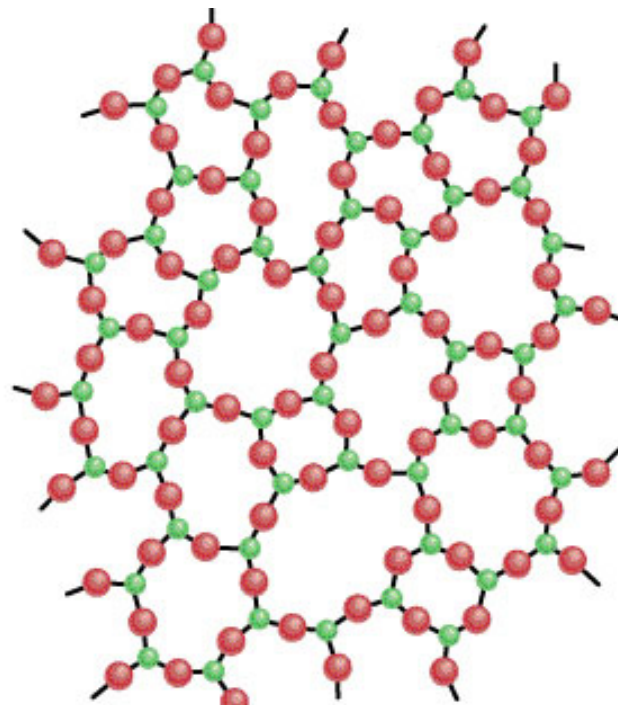
<sup>†</sup>Diamond is a good thermal conductor.

Un **sólido amorf**o no posee una disposición bien definida ni orden molecular de rango largo.

Un **vidrio** es un producto de fusión de materiales inorgánicos ópticamente transparente, que tiene un estado frío rígido **sin cristalización**

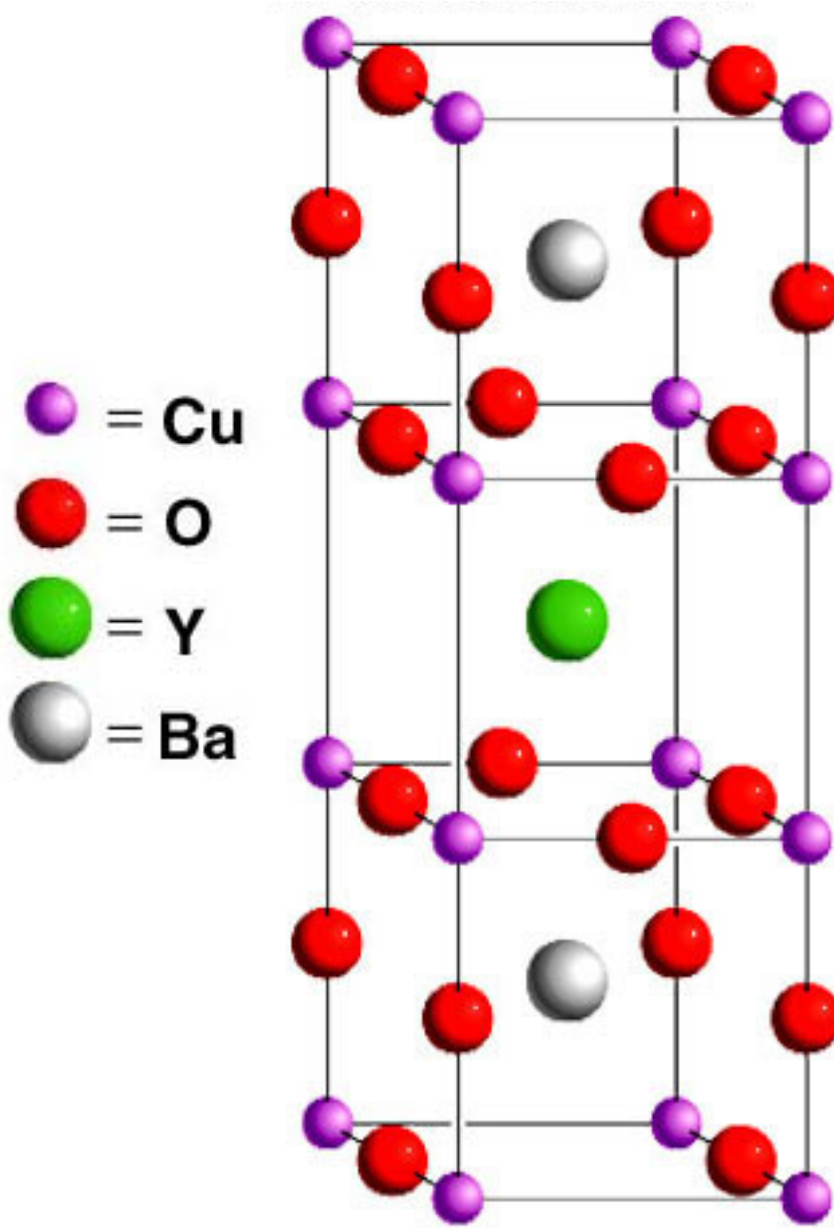


Cuarzo  
cristalino ( $\text{SiO}_2$ )

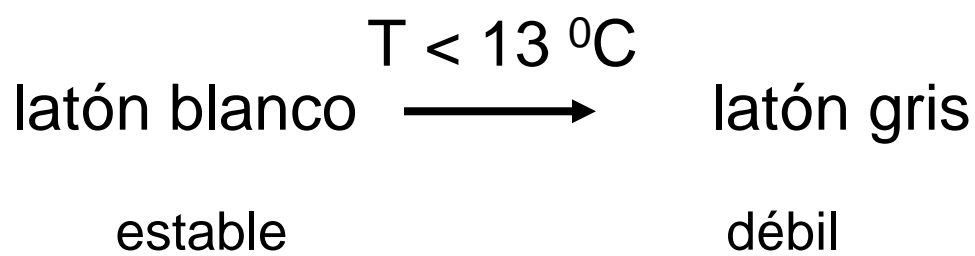


Vidrio de cuarzo  
no cristalino

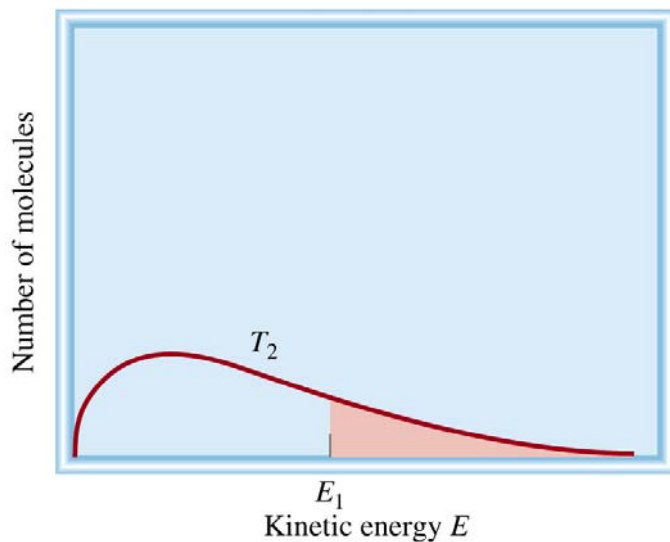
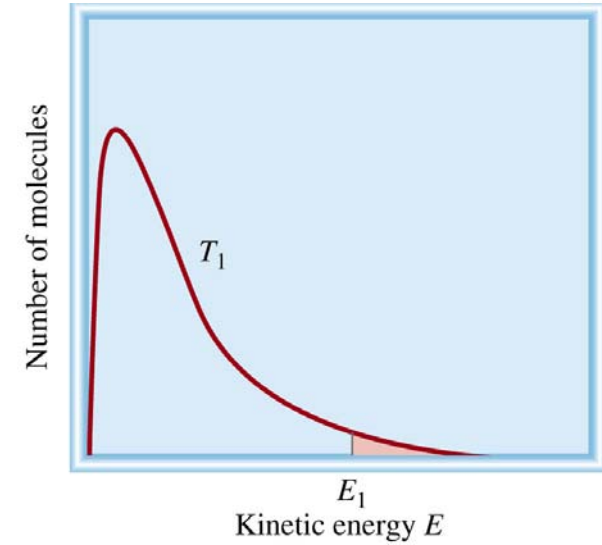
# La Química en acción: Superconductores a altas temperaturas



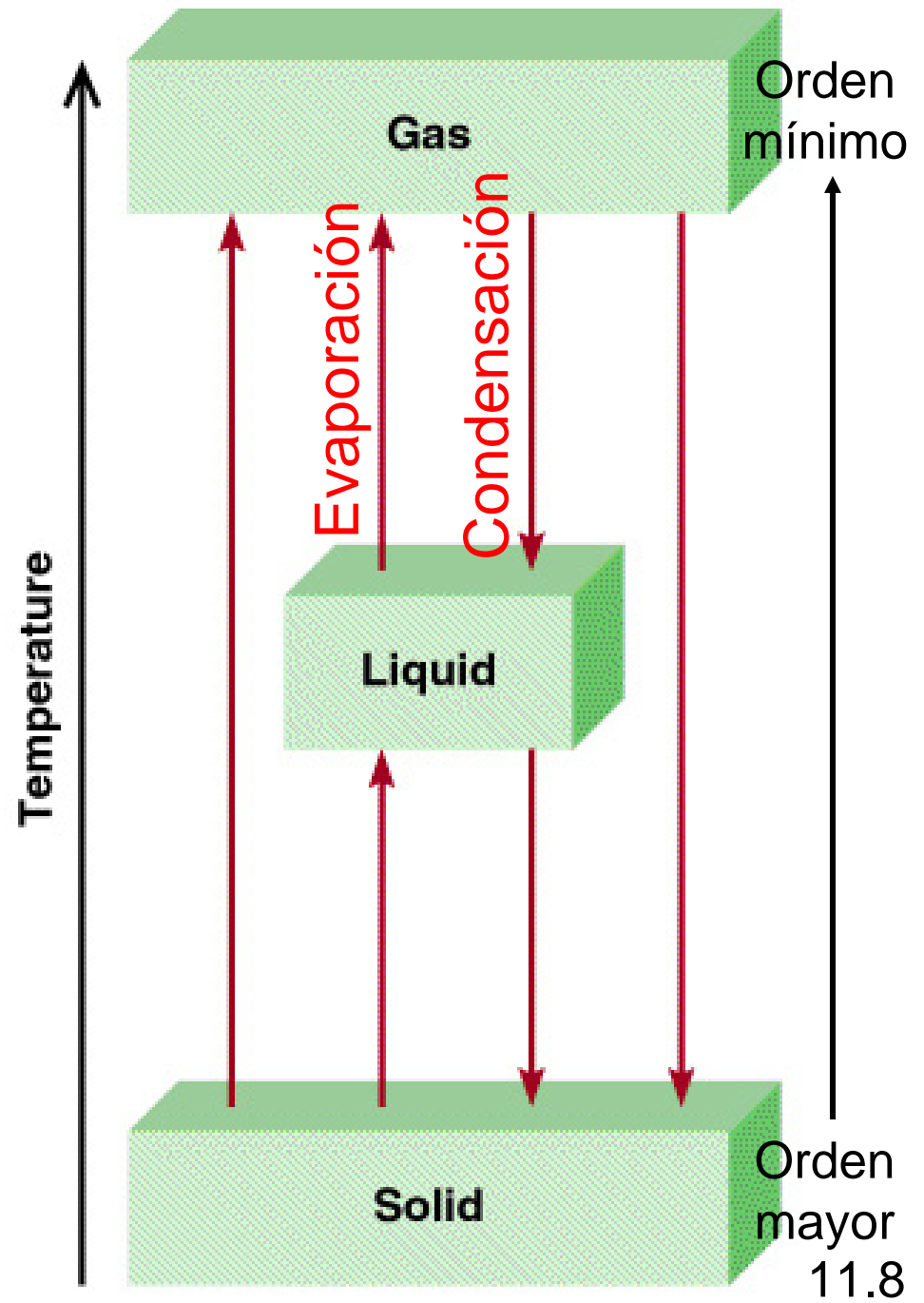
# La Química en acción: Y todo por un botón



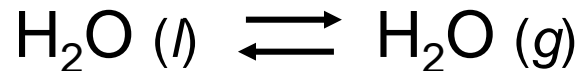
# Phase Changes



$$T_2 > T_1$$

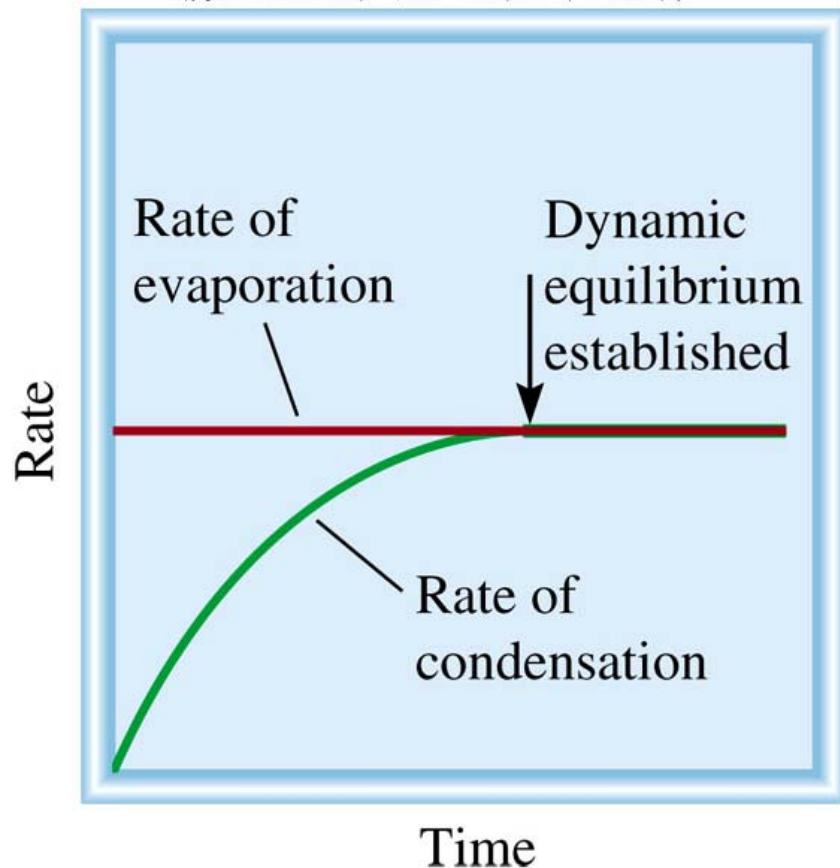


La **presión de vapor en equilibrio** es la presión de vapor medida cuando existe un equilibrio dinámico entre la condensación y la evaporación.

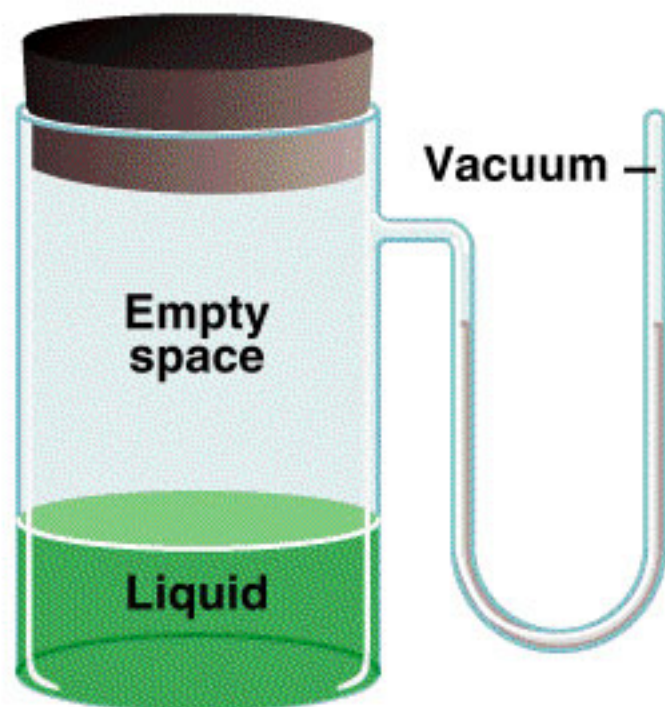


### Equilibrio dinámico

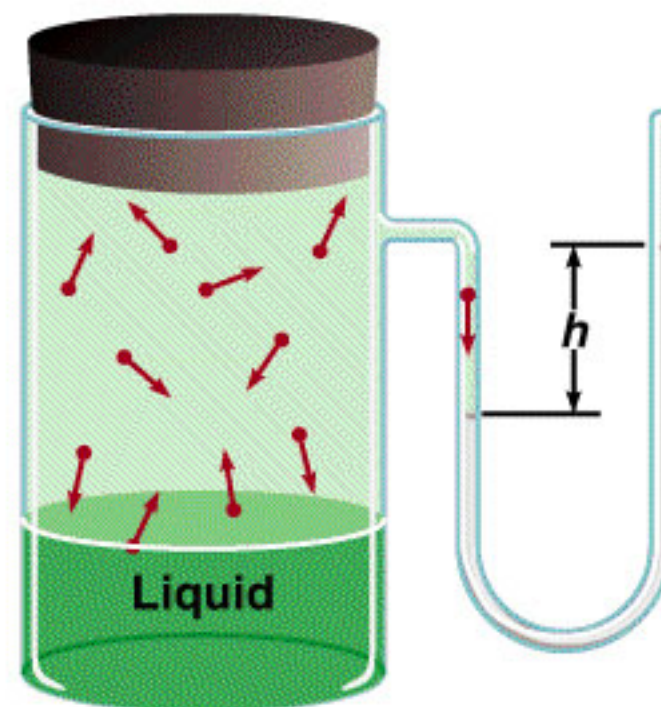
$$\text{Tasa de condensación} = \text{Tasa de evaporación}$$



# Apparatus for Measuring the Vapor Pressure of a Liquid



Antes de la evaporación



En equilibrio

**Calor molar de vaporización** ( $\Delta H_{\text{vap}}$ ) es la energía requerida para vaporizar 1 mol de un líquido en su punto de ebullición.

### Ecuación de Clausius-Clapeyron

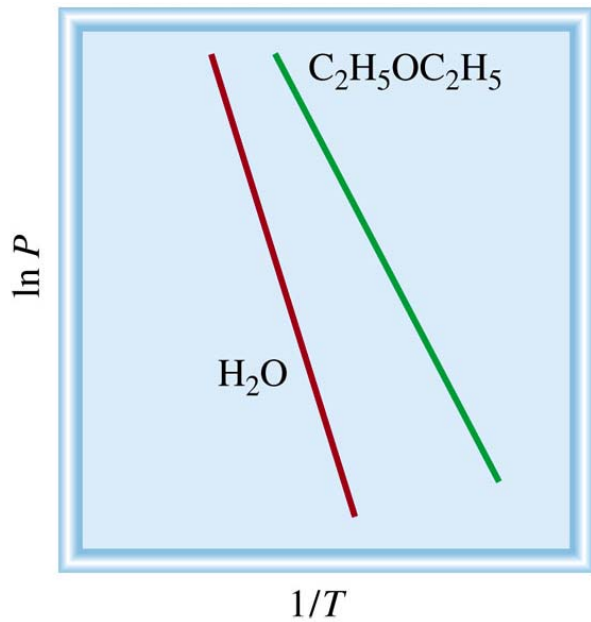
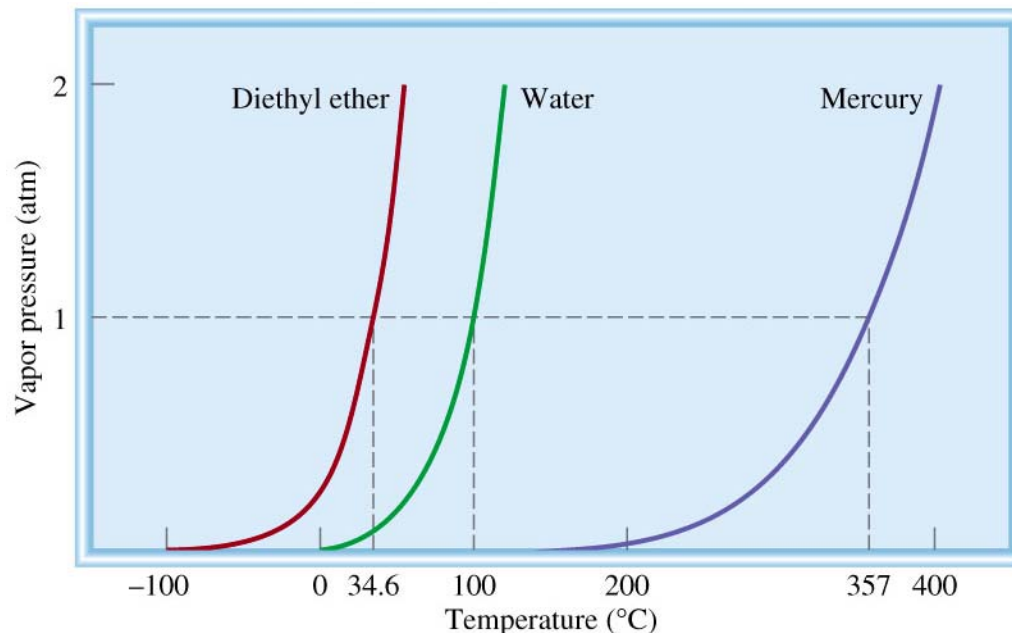
$$\ln P = - \frac{\Delta H_{\text{vap}}}{RT} + C$$

$P$  = (equilibrio) presión de vapor

$T$  = temperatura (K)

$R$  = constante de gas (8.314 J/K•mol)

### Presión de vapor contra temperatura



El **punto de ebullición** es la temperatura en la cual la presión de vapor (en equilibrio) de un líquido es igual a la presión externa.

El **punto de ebullición** normal es la temperatura en la cual un líquido hierve cuando la presión externa es de 1 atm.

**TABLE 11.6** Molar Heats of Vaporization for Selected Liquids

Substance	Boiling Point* (°C)	$\Delta H_{\text{vap}}$ (kJ/mol)
Argon (Ar)	–186	6.3
Benzene (C <sub>6</sub> H <sub>6</sub> )	80.1	31.0
Ethanol (C <sub>2</sub> H <sub>5</sub> OH)	78.3	39.3
Diethyl ether (C <sub>2</sub> H <sub>5</sub> OC <sub>2</sub> H <sub>5</sub> )	34.6	26.0
Mercury (Hg)	357	59.0
Methane (CH <sub>4</sub> )	–164	9.2
Water (H <sub>2</sub> O)	100	40.79

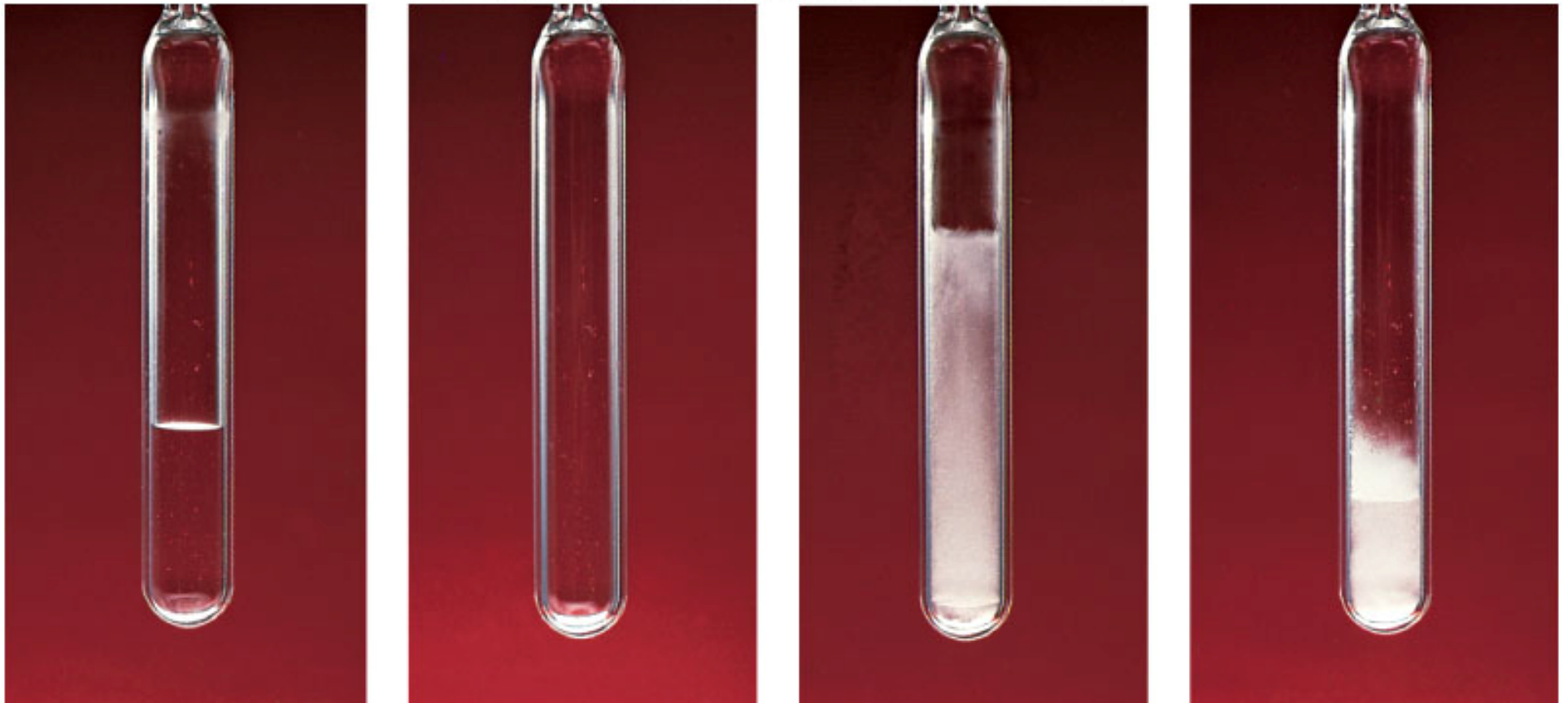
\* Measured at 1 atm.

La **temperatura crítica** ( $T_c$ ) es la temperatura por arriba de la cual el gas no puede licuarse, no importa cuán grande sea la presión aplicada.

La **presión crítica** ( $P_c$ ) es la presión mínima que debe aplicarse para ocasionar licuefacción a la temperatura crítica.

TABLE 11.7	Critical Temperatures and Critical Pressures of Selected Substances	
Substance	$T_c$ (°C)	$P_c$ (atm)
Ammonia (NH <sub>3</sub> )	132.4	111.5
Argon (Ar)	-186	6.3
Benzene (C <sub>6</sub> H <sub>6</sub> )	288.9	47.9
Carbon dioxide (CO <sub>2</sub> )	31.0	73.0
Ethanol (C <sub>2</sub> H <sub>5</sub> OH)	243	63.0
Diethyl ether (C <sub>2</sub> H <sub>5</sub> OC <sub>2</sub> H <sub>5</sub> )	192.6	35.6
Mercury (Hg)	1462	1036
Methane (CH <sub>4</sub> )	-83.0	45.6
Molecular hydrogen (H <sub>2</sub> )	-239.9	12.8
Molecular nitrogen (N <sub>2</sub> )	-147.1	33.5
Molecular oxygen (O <sub>2</sub> )	-118.8	49.7
Sulfur hexafluoride (SF <sub>6</sub> )	45.5	37.6
Water (H <sub>2</sub> O)	374.4	219.5

# El fenómeno crítico de SF<sub>6</sub>



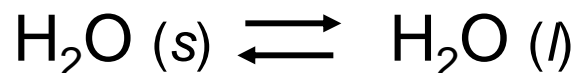
$T < T_c$

$T > T_c$

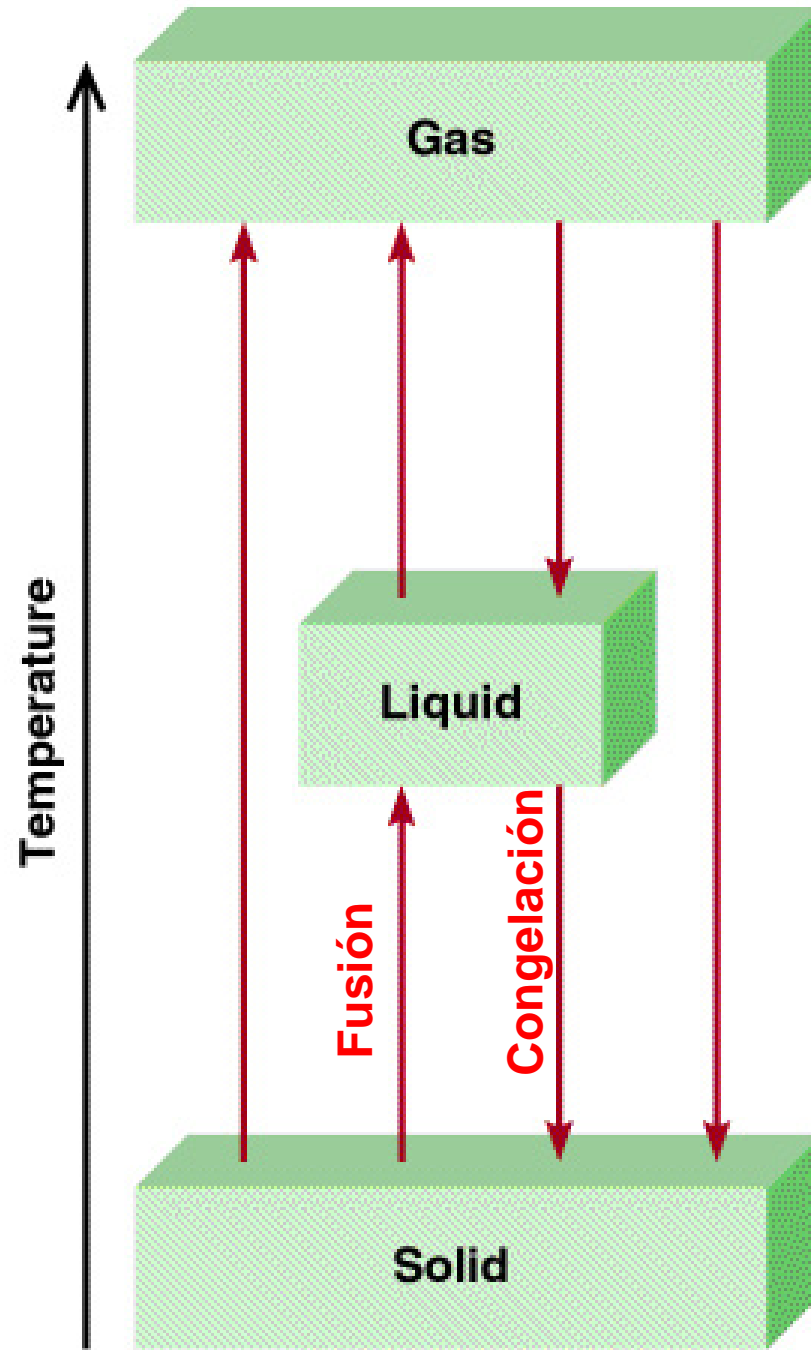
$T \sim T_c$

$T < T_c$

# Phase Changes



El **punto de fusión** de un sólido o el **punto de congelación** de un líquido es la temperatura en la cual las fases sólida y líquida coexisten en equilibrio.



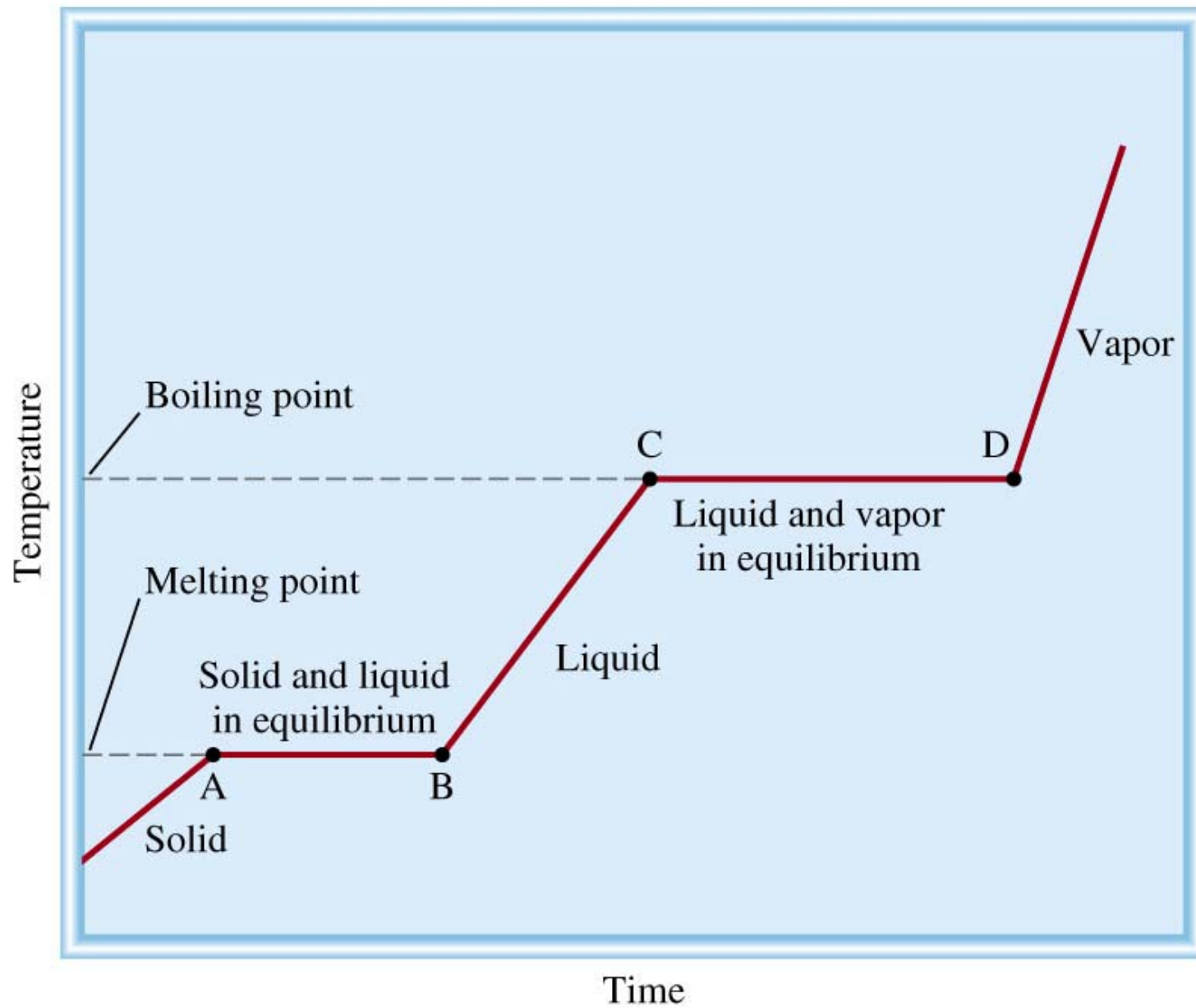
**Calor molar de fusión** ( $\Delta H_{\text{fus}}$ ) es la energía requerida para fundir 1 mol de una sustancia sólida en su punto de congelación.

**TABLE 11.8** Molar Heats of Fusion for Selected Substances

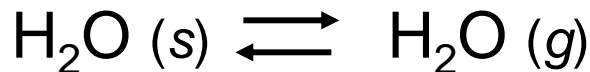
Substance	Melting Point* (°C)	$\Delta H_{\text{fus}}$ (kJ/mol)
Argon (Ar)	−190	1.3
Benzene (C <sub>6</sub> H <sub>6</sub> )	5.5	10.9
Ethanol (C <sub>2</sub> H <sub>5</sub> OH)	−117.3	7.61
Diethyl ether (C <sub>2</sub> H <sub>5</sub> OC <sub>2</sub> H <sub>5</sub> )	−116.2	6.90
Mercury (Hg)	−39	23.4
Methane (CH <sub>4</sub> )	−183	0.84
Water (H <sub>2</sub> O)	0	6.01

\*Measured at 1 atm.

# Curva de calor



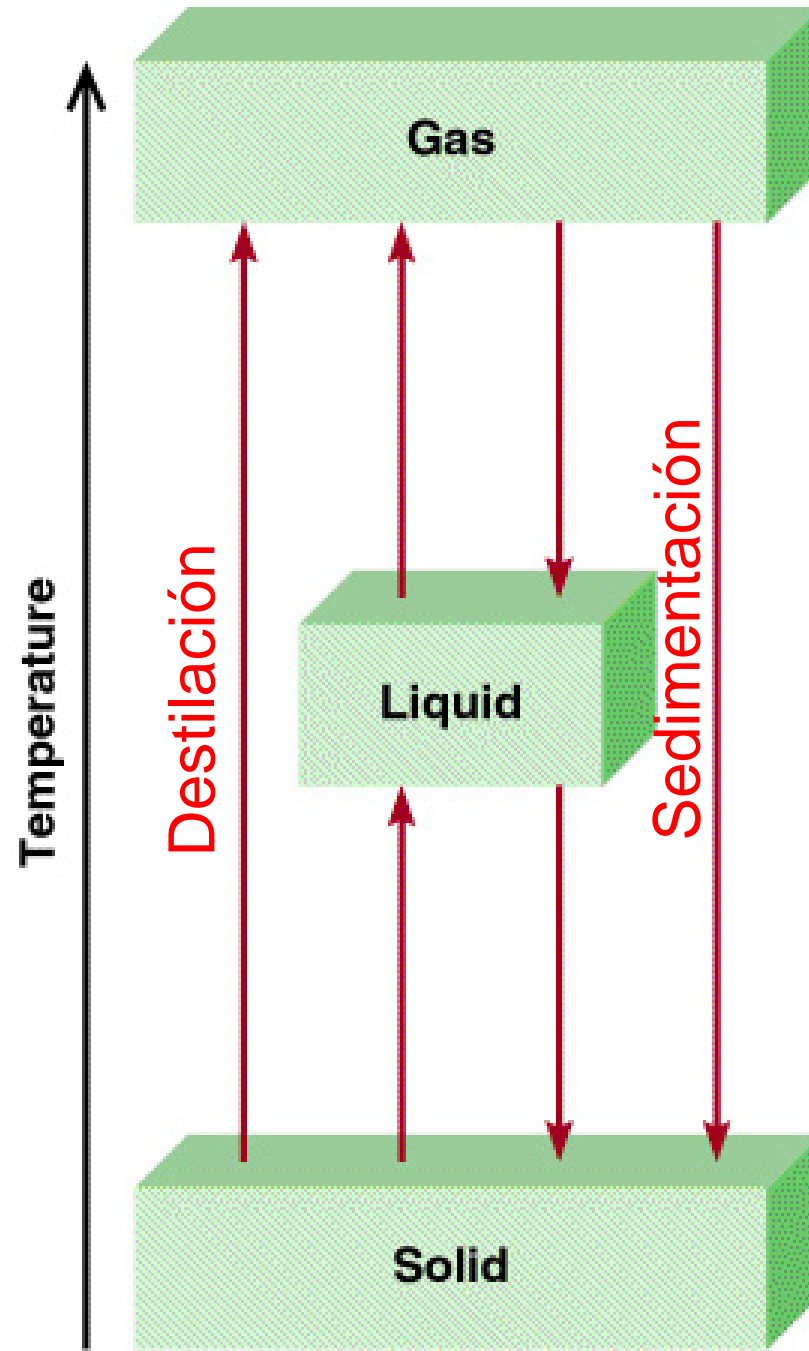
# Phase Changes



**Calor molar de destilación (sublimación) ( $\Delta H_{\text{sub}}$ )** es la energía requerida para destilar 1 mol de un sólido.

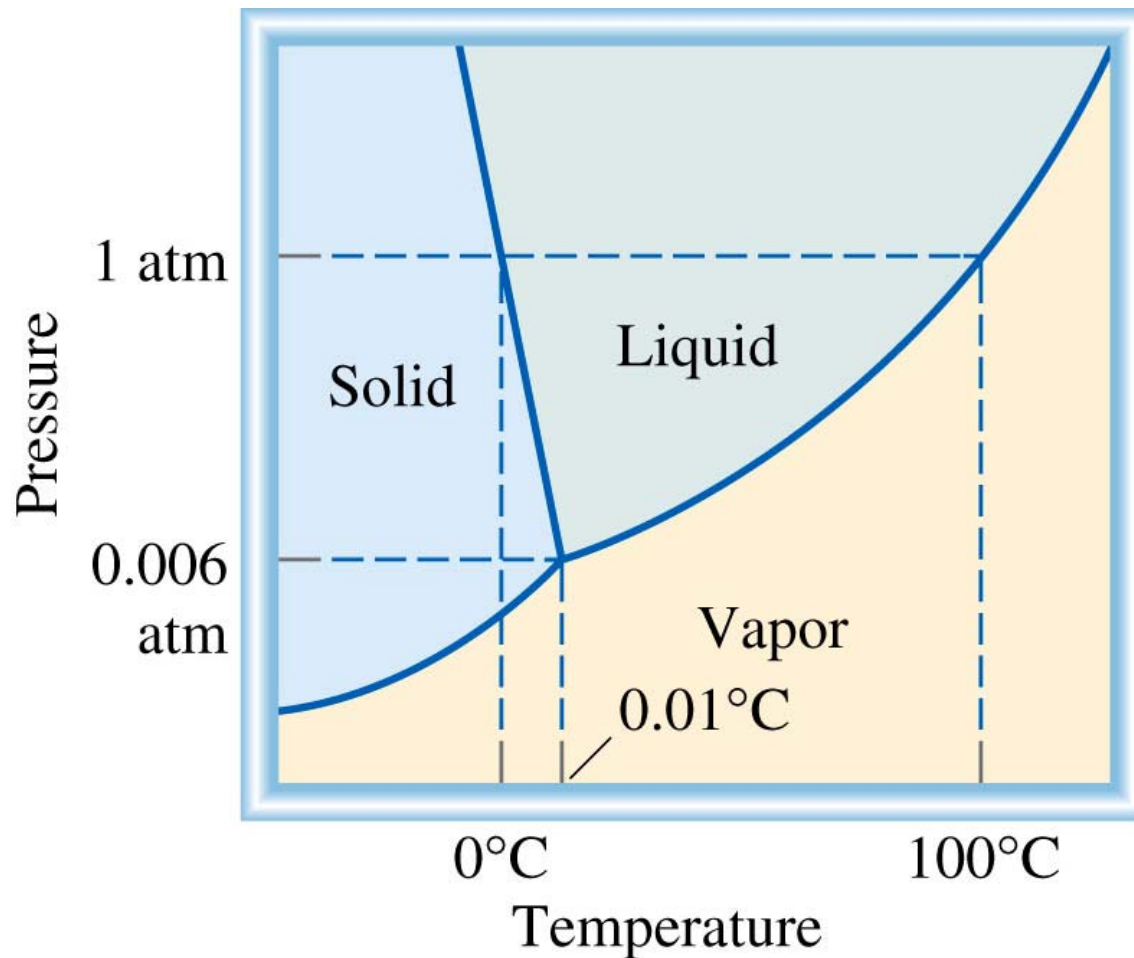
$$\Delta H_{\text{sub}} = \Delta H_{\text{fus}} + \Delta H_{\text{vap}}$$

( Ley de Hess)

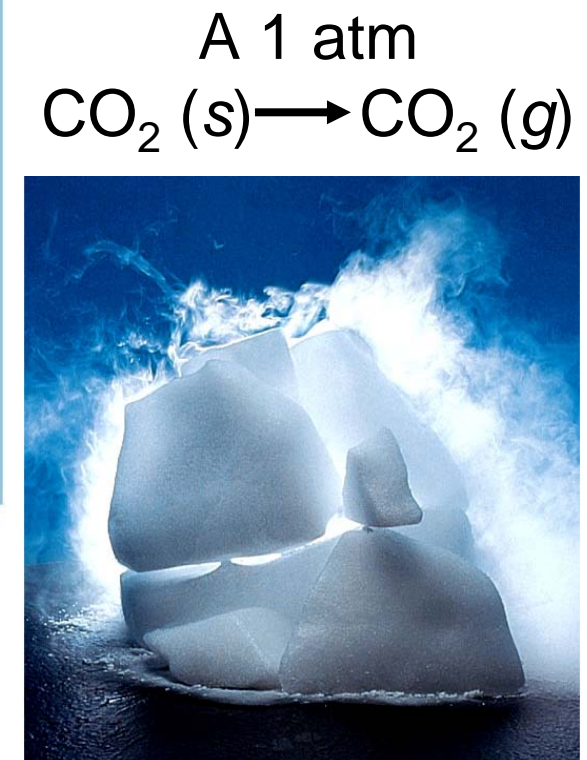
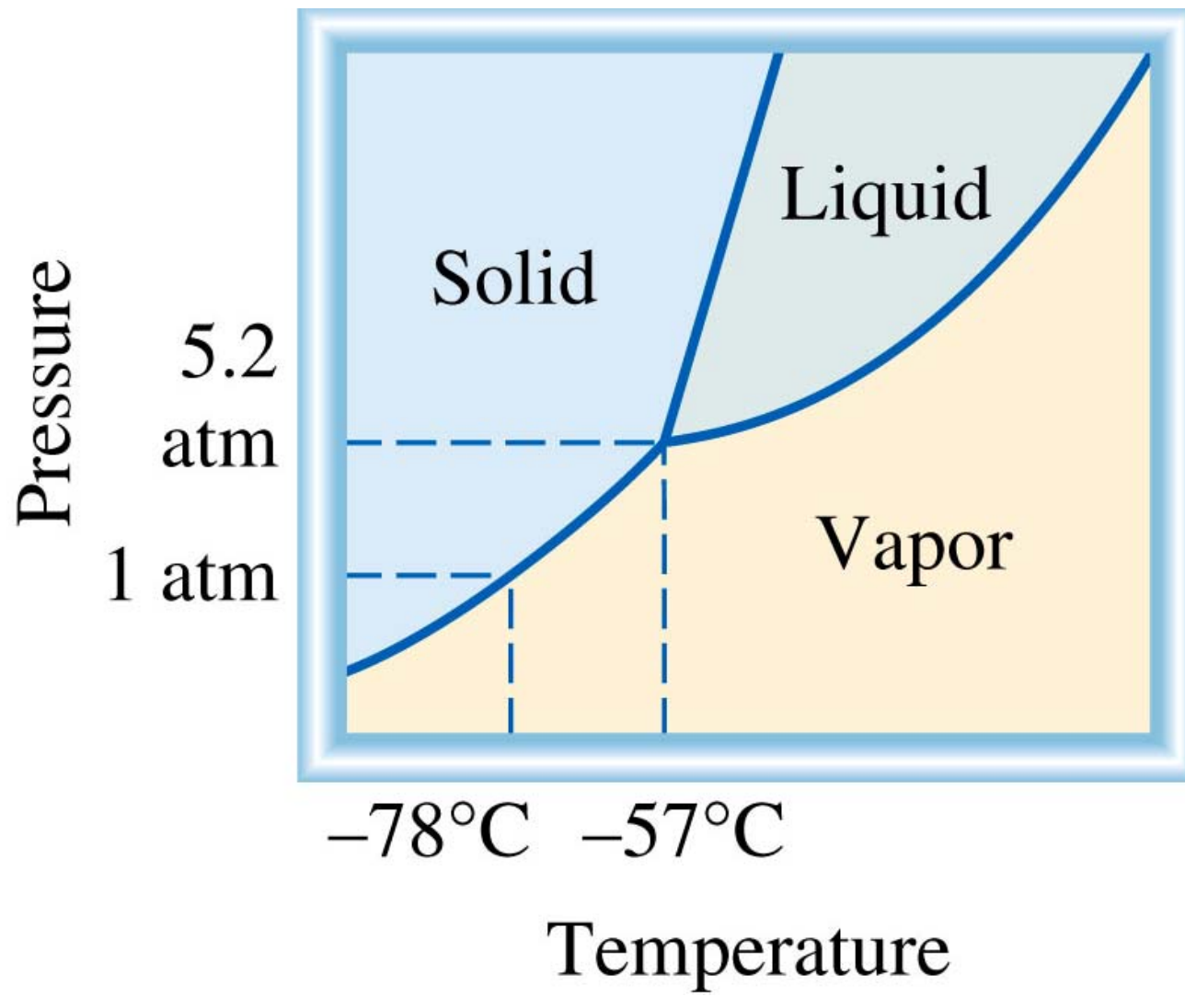


Un **diagrama de fases** resume las condiciones en las cuales una sustancia existe como sólido, líquido o gas.

## Diagrama de fases del agua



# Diagrama de fases del bióxido de carbono



## Efecto del aumento de la presión en el punto de fusión del hielo y el punto de ebullición del agua

